

บทที่ 2

เอกสารและงานวิจัยที่เกี่ยวข้อง

บทนี้กล่าวถึงทฤษฎีเอกสารและงานวิจัยที่เกี่ยวข้อง ประกอบด้วยการเคลือบฟิล์มบาง การก่อเกิดฟิล์มบาง การเคลือบฟิล์มบางด้วยวิธีสปัตเตอริง กระบวนการ โกล์วิดิษาร์จ ระบบเคลือบแบบดีซีสปัตเตอริง ระบบเคลือบแบบดีซี แมกนีตรอน สปัตเตอริง ระบบเคลือบแบบอันบาลานซ์แมกนีตรอนสปัตเตอริง การเคลือบฟิล์มบางด้วยวิธีรีแอคติฟสปัตเตอริง การหาลักษณะเฉพาะของฟิล์มบาง ไทเทเนียมไนโตรด และงานวิจัยที่เกี่ยวข้อง ซึ่งมีรายละเอียดดังนี้

การเคลือบฟิล์มบาง

การเคลือบฟิล์มบาง (Thin Film) ในสัญญาศาสตร์แรกทำโดย Bunsen และ Grove ในปี ค.ศ.1852 โดยพื้นฐานแล้วแนวคิดเกี่ยวกับ การเคลือบในสัญญาศาสตร์ของการเคลือบฟิล์มบาง คือ การเรียงตัว (Fabricated) โดยการเคลือบ (Deposition) ของสารเคลือบในลักษณะอะตอมเดียวบนวัสดุรองรับ (Substrate) จนเกิดเป็นชั้นของฟิล์มที่บางมาก ในระดับนาโนเมตรถึงไมโครเมตร จึงอาจกล่าวได้ว่า “ฟิล์มบาง (Thin Film) หมายถึงชั้นของอะตอมหรือกลุ่มของอะตอมที่จับรวมกัน เป็นชั้นบาง ๆ” อย่างไรก็ได้การระบุว่าฟิล์มใดเป็น “ฟิล์มบาง” นั้นอาจพิจารณาได้จากลักษณะการใช้งานว่าใช้สมบัติด้านใดของฟิล์มกล่าวอีกนัยหนึ่งเป็นการใช้สมบัติเชิงผิว (Surface Properties) จะเรียกฟิล์มนี้ว่า “ฟิล์มบาง” แต่ถ้าเป็นการใช้สมบัติเชิงปริมาตร (Bulk Properties) จะเรียกฟิล์มนี้ว่า “ฟิล์มหนา” ทั้งนี้จะเห็นว่า ฟิล์มเดียวกันนั้นอาจเป็นทั้ง “ฟิล์มบาง” หรือ “ฟิล์มหนา” ก็ได้ขึ้นกับลักษณะการใช้งานเป็นสำคัญ (Bunshah, 1994)

ปัจจุบันมีการนำฟิล์มบางมาประยุกต์ใช้ในงานด้านต่าง ๆ มากมาย เช่น งานด้านอิเล็กทรอนิกส์ เช่น สารกึ่งตัวนำ ฟิล์มตัวนำ และฟิล์มตัวต้านทาน หรืองานด้านทัศนศาสตร์ เช่น เลนส์ กระจกสะท้อนแสง กระจกสะท้อนความร้อน เป็นต้น นอกจากนี้ยังสามารถใช้วิธีการเคลือบฟิล์มบางในการเตรียมสารตัวอย่างสำหรับใช้ในการศึกษาสมบัติทางกายภาพของวัสดุในรูปของฟิล์มบาง ซึ่งสมบัติบางอย่างไม่สามารถวัดได้เมื่ออุบัติในสภาพเป็นก้อน (Bulk) เพราะฉะนั้นข้อมูลเหล่านี้มีประโยชน์อย่างมากต่อการพัฒนาวัสดุเพื่อนำไปใช้ในอุตสาหกรรม

การเคลื่อนพิล์มนบางในสุญญากาศ เป็นการทำให้สารเคลื่อนบนผิวสัมผัสรองรับที่ต้องการซึ่งทำได้หลายวิธี โดยพื้นฐานแล้วการเคลื่อนพิล์มนีขั้นตอนสำคัญ 3 ขั้นตอน (Smith, 1995) ดังนี้คือ

1. การสร้างสารเคลื่อน (Source) โดยทั่วไปแล้วสารเคลื่อนอาจอยู่ในรูปของของเหลว ไอ หรือแก๊ส ก็ได้ แต่สารเคลื่อนจะทำการเคลื่อนนั้นจำเป็นต้องอยู่ในรูปของไอระเหยซึ่งวิธีการที่ทำให้สารเคลื่อนกลายเป็นไอระเหยสามารถทำได้หลายวิธี เช่น การให้ความร้อนหรือการระดมยิงด้วยอนุภาคที่มีพลังงานสูง เป็นต้น

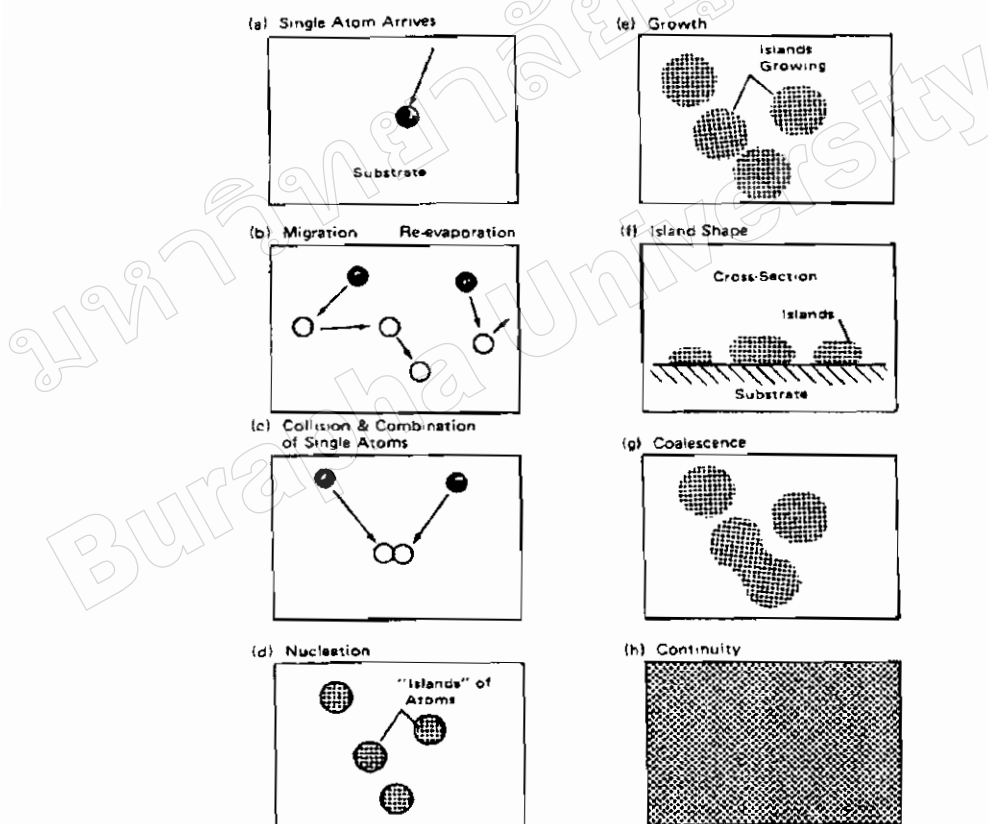
2. การเคลื่อนย้ายสารเคลื่อนมาจังหวัดสัมผัสรองรับ (Transport) ในภาวะสุญญากาศ ไอระเหยของสารเคลื่อนอาจจะมีการเคลื่อนที่เป็นเส้นตรง ไปยังสัมผัสรองรับ หรืออาจจะเคลื่อนที่ไปในลักษณะของไหหล ซึ่งจะทำให้ไอระเหยของสารเคลื่อนมีการชนกับอนุภาคอื่นภายในภาชนะสุญญากาศ นอกจากนี้ ไอระเหยอาจจะเคลื่อนที่ไปยังสัมผัสรองรับในลักษณะของพลาสม่าก็ได้

3. การสะสมพอกพูน (Deposition) เป็นขั้นตอนการพอกพูนของสารเคลื่อนและให้เข้ากับลายเป็นชั้นของพิล์มนบางบนวัสดุรองรับขั้นตอนนี้เข้ากับเงื่อนไขของสัมผัสรองรับหรือการทำปฏิกริยาของสารเคลื่อนกับวัสดุรองรับ ตลอดจนพลังงานที่ใช้ในการเคลื่อน

การก่อเกิดพิล์มนบาง

การเกิดพิล์มนบางจากการเคลื่อนพิล์มนบางในสุญญากาศ Chapman (1980) ได้อธิบายไว้ว่างนี้ เมื่อสารเคลื่อนจากแหล่งกำเนิดสารเคลื่อนเคลื่อนที่มาถึงวัสดุรองรับสารเคลื่อนที่กระแทบผิวสัมผัสรองรับส่วนใหญ่จะอยู่ในรูปของอะตอมหรือโมเลกุล (ภาพที่ 2-1(a)) โดยพลังงานพันธะ (Bonding Energy) ระหว่างอะตอมของสารเคลื่อนกับวัสดุรองรับและอุณหภูมิของวัสดุรองรับจะเป็นตัวกำหนดความสามารถในการแพร่ (Diffusion) ของสารเคลื่อนบนผิวสัมผัสรองรับ อะตอมของสารเคลื่อนจะติดกระแทบผิวสัมผัสรองรับในตำแหน่งที่เรียกว่าตำแหน่งการดูดจับ (Adsorption Site) ทำให้เกิดการเกาะติดหรือถ้ามีพลังงานมากพอ ก็จะกระโดดข้ามตำแหน่งพลังงานไปยังบริเวณที่อยู่ติดกันหรือหลุดออกจากตำแหน่งนั้นไป (ภาพที่ 2-1(b)) ในช่วงเวลาหนึ่งอะตอมสารเคลื่อนอาจเกิดการระเหยกลับและเกิดการรวมตัวกันระหว่างอะตอมที่มีการแพร่ด้วยกันเมื่ออะตอมของสารเคลื่อนรวมตัวกันอาจเกิดเป็นอะตอมคู่ (ภาพที่ 2-1(c)) ซึ่งมีความเสถียรมากกว่าอะตอมเดี่ยว (Single Atom) ซึ่งการรวมตัวกันของอะตอมนั้นจะขึ้นอยู่กับความหนาแน่นของอะตอมเดี่ยวและอัตราเคลื่อน (Deposition Rate) อะตอมคู่อาจรวมตัวกับอะตอมเดี่ยวอีกแล้ว กล้ายเป็นสามอะตอม (Triplets) หรือสี่อะตอม (Quadruplets) หรืออื่น ๆ ลักษณะเช่นนี้เรียกว่า สภาวะการเกิดนิวเคลียต (ภาพที่ 2-1(d)) ทำให้ได้กลุ่มอะตอมกึ่งเสถียร (Quasi-Stable Islands) จากนั้นกลุ่มอะตอมจะเริ่มโตขึ้นเรียกว่า การโตเป็นกลุ่มก้อน (Island Growth) ขนาดของกลุ่ม

อะตอมจะใหญ่ขึ้นโดยมีจำนวนอะตอมเท่าเดิมหรือเพิ่มขึ้นเล็กน้อย (ภาพที่ 2-1(e) และ 2-1(f)) การโถของกลุ่มอะตอมนี้จะเกิดขึ้นเรื่อยๆ จนกระทั่งขอบของเดลากลุ่มอะตอมชนกันเรียกว่า การรวมเป็นก้อนของกลุ่มอะตอม (Agglomeration หรือ Coalescence) (ภาพที่ 2-1(g)) จากการศึกษาด้วยเทคนิค Transmission Electron Microscopy (TEM) พบว่าขณะที่กลุ่มอะตอมรวมเป็นก้อนอะตอมมีพฤติกรรมคล้ายของเหลว (Liquid-Like Behaviour) และมีการจัดเรียงทิศทางในเชิงผลึกวิทยา (Crystallographic Orientation) ด้วยการรวมกันเป็นก้อนของกลุ่มอะตอมจะเกิดขึ้นจนกระทั่งเชื่อมต่อกันอย่างต่อเนื่อง (ภาพที่ 2-1(h)) แต่ในบางกรณีการเชื่อมต่อกันอย่างต่อเนื่องจะเกิดขึ้นได้อย่างสมมูลนิยมเมื่อพิสูจน์มีความหนาโดยเฉลี่ยประมาณ $0.04\text{--}0.05 \mu\text{m}$ ลักษณะพิเศษของพิสูจน์บางขณะเกิดการรวมกลุ่มอะตอมจะคุคล้ายเนินเขาและหุบเขา



ภาพที่ 2-1 การก่อเกิดพิสูจน์บาง (Chapman, 1980)

เมื่อพิจารณาการเกิดฟิล์มในสภาวะที่เป็นกลุ่มอะตอม (Island) พบว่าอาจเป็นกลุ่มของผลึกเดียวหรือกลุ่มของผลึกคู่หรือมากกว่านั้น ซึ่งกลุ่มอะตอมเหล่านี้จะตกเคลื่อนลงบนวัสดุรองรับที่เป็นวัสดุหลายผลึก ทิศทางการขัดเรียงตัว (Orientation) ของแต่ละกลุ่มอะตอมนั้นจะเป็นแบบสุ่ม (Random) ทำให้ได้ฟิล์มบางที่มีโครงสร้างเป็นหลายผลึกด้วยแต่ถ้ากลุ่มอะตอมเหล่านั้นตกเคลื่อนบนวัสดุรองรับที่เป็นผลึกเดียวการจัดเรียงตัวของฟิล์มก็จะมีลักษณะเป็นผลึกเดียวและเรียกการเกิดฟิล์มแบบผลึกเดียวประเภทนี้ว่า เอพิแทกซ์ (Epitaxy)

ถ้าอะตอมที่ผิวของวัสดุรองรับมีพลังงานเพียงพอ อะตอมเหล่านี้จะเคลื่อนที่เพื่อเดือกด้วยไปอยู่ในตำแหน่งที่มีพลังงานต่ำกว่าเสมอทั้งนี้ความสามารถในการเคลื่อนที่ (Mobility) ของอะตอมจะเพิ่มขึ้นถ้าอุณหภูมิที่ผิววัสดุรองรับสูงขึ้นจากนี้การลดอัตราเคลื่อนยังสามารถช่วยให้การโตของผลึกเกิดได้ดียิ่งขึ้น เพราะอะตอมมีเวลาในการโตมากพอตั้งนี้ถ้าอุณหภูมิของวัสดุรองรับสูงและมีอัตราเคลื่อนตัวจะได้ฟิล์มที่มีขนาดของเกรนใหญ่ขึ้น มีข้อบกพร่องในเกรนน้อยลง และได้ฟิล์มที่มีความหนามากพอสำหรับการเชื่อมต่อ กันอย่างสมบูรณ์ในทางกลับกันถ้าอุณหภูมิวัสดุรองรับต่ำแต่อัตราเคลื่อนสูงก็จะให้ผลลักษณะเดียวกัน

การเคลื่อนฟิล์มบางด้วยวิธีสปีดเตอริง

การเคลื่อนฟิล์มบางด้วยวิธีสปีดเตอริงเป็นกระบวนการพอกพูนของชั้นสารเคลื่อนในลักษณะฟิล์มบางของสารเคลื่อนที่ได้จากการสปีดเตอร์ การเคลื่อนคัววิธีนี้เกิดขึ้นเมื่ออะตอมของสารเคลื่อนที่ได้จากการกระบวนการสปีดเตอร์ร่วงเข้าชนวัสดุรองรับและมีการพอกพูนและโตเป็นฟิล์มบางในที่สุดกระบวนการสปีดเตอริงคือการทำให้อะตอมหลุดจากผิวของวัสดุโดยการชนของอนุภาคพลังงานสูงแล้วมีการแยกเปลี่ยนพลังงานและโน้มน้ามระหว่างอนุภาคที่ร่วงเข้าชนกับอะตอมที่ผิวสารเคลื่อนโดยอนุภาคที่ร่วงเข้าชนอาจเป็นกลางทางไฟฟ้าหรือมีประจุก็ได้และเนื่องจากไอออนที่ได้จากการกระบวนการสปีดเตอร์ในการเคลื่อนฟิล์มบางด้วยวิธีสปีดเตอริงจะเคลื่อนที่ด้วยความเร็วสูงกว่าวิธีการระเหยสารมากดังนั้นมีอัตราเคลื่อนของสารเคลื่อนที่ร่วงเข้ากระแทบแผ่นวัสดุรองรับก็จะฟังด้วยแน่นลงในเนื้อวัตถุที่ต้องการเคลื่อนมากกว่าวิธีระเหยสาร ดังนั้น การเคลื่อนด้วยวิธีสปีดเตอริงจะทำให้การยึดเกาะระหว่างสารเคลื่อนกับวัตถุรองรับดีกว่า (พิเชญฐ์ ลิ่มนทุวรรณ และธนสสา รัตนะ, 2547; Chapman, 1980)

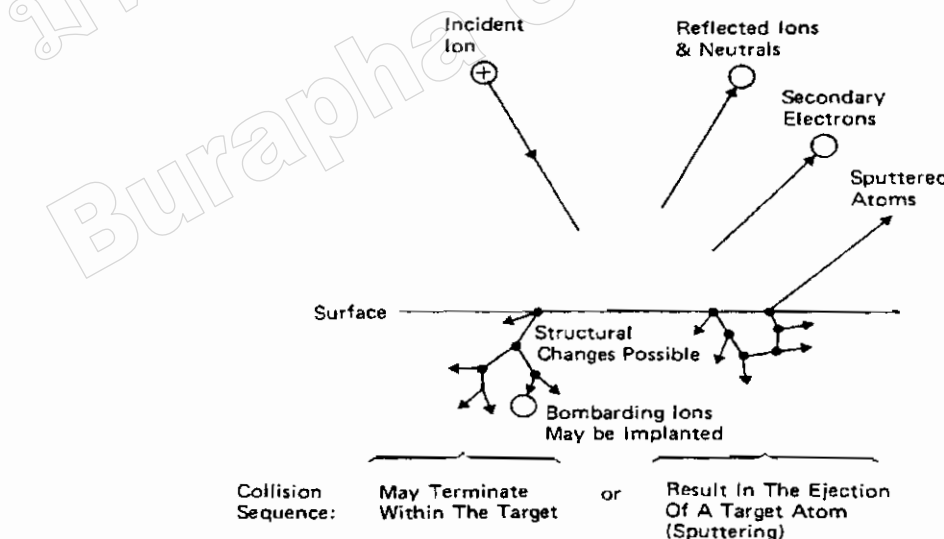
เมื่อผิวน้ำของวัสดุจะระคมยิงด้วยอนุภาคพลังงานสูงจะทำให้เกิดการสึกกร่อนและมีอนุภาคที่ผิวน้ำของวัสดุนั้นหลุดมา เนื่องจากการชนของอนุภาคพลังงานสูงกับอนุภาคที่ผิวน้ำ วัสดุ ปรากฏการณ์ที่อนุภาคผิวน้ำวัสดุหลุดออกมานี้เรียกว่า สปัตเตอร์ (Sputter) หรือสปัตเตอริ่ง (Sputtering) ปัจจุบันมีการนำมาระบุคต์ใช้อย่างกว้างขวาง เช่น การทำความสะอาดผิวน้ำ (Surface Cleaning) การกัดเซาะ (Etching) การวิเคราะห์ชั้นผิวน้ำของวัสดุ (Surface Layer Analysis) และการเคลือบฟิล์มบาง

สำหรับแนวคิดเบื้องต้นเกี่ยวกับกระบวนการสปัตเตอริ่ง อธิบายได้ดังนี้

1. อันตรกิริยะระหว่าง ไอออนและผิวเป้าสารเคลือบเมื่อ ไอออนพลังงานสูงวิ่งชนผิวน้ำ วัสดุจะเกิดปรากฏการณ์ต่าง ๆ ดังแสดงในภาพที่ 2-2 ซึ่งอธิบายได้ดังนี้

1.1 การสะท้อนที่ผิวน้ำของ ไอออน (Reflected Ion and Neutral) ไอออนอาจสะท้อนกลับจากผิวน้ำซึ่งส่วนใหญ่จะสะท้อนออกมายังรูปของอะตอมที่เป็นกลางทางไฟฟ้าอันเกิดจากการรวมตัวกับอิเล็กตรอนที่ผิวเป้าสารเคลือบ

1.2 การปลดปล่อยอิเล็กตรอนชุดที่สอง (Secondary Electron Emission) จากการชนของ ไอออนอาจทำให้เกิดการปลดปล่อยอิเล็กตรอนชุดที่สองจากผิวเป้าสารเคลือบถ้า ไอออนนั้นมีพลังงานสูงพอ



ภาพที่ 2-2 อันตรกิริยะระหว่าง ไอออนกับพื้นผิววัสดุ (Chapman, 1980)

1.3 การฝังตัวของไอออน (Ion Implantation) ไอออนที่วิ่งชนเป้าสารเคลือบนั้นอาจฝังตัวลงในสารเคลือบ โดยความลึกของการฝังตัวจะแปรผันโดยตรงกับพลังงานไอออน ซึ่งมีค่า 10 อั้งสตรอม/พลังงานไอออน 1keV สำหรับไอออนของแก๊สสารรักษาที่ฝังตัวในทองแดง

1.4 การเปลี่ยนโครงสร้างของผิวสารเคลือบ (Target Material Structural Rearrangements) การชนของไอออนบนผิวสารเคลือบทาให้เกิดการเรียงตัวของอะตอมที่ผิวสารเคลือบใหม่และเกิดความบกพร่องของผลึก (Lattice Defect) โดยเรียกการจัดตัวใหม่ของโครงสร้างผิวนี้ว่า Altered Surface Layer

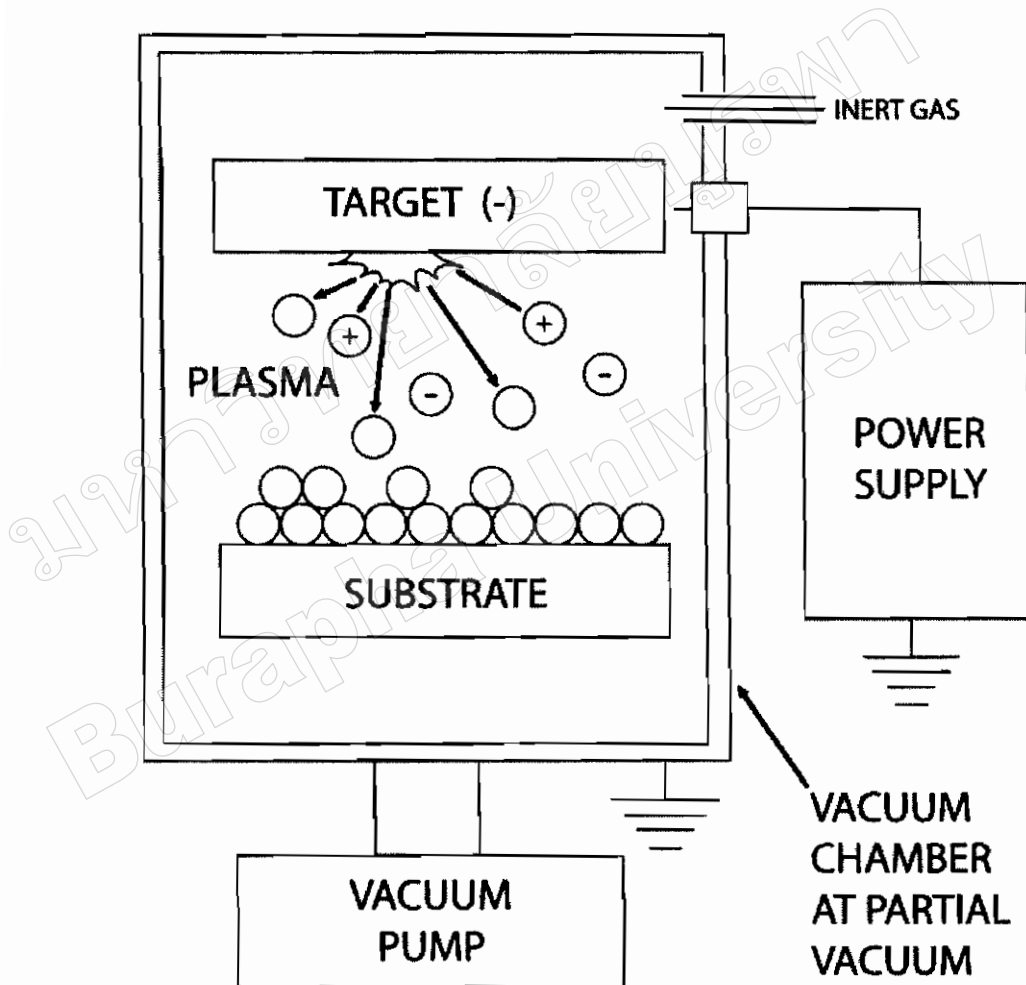
1.5 การสปัตเตอร์ (Sputter) การชนของไอออนอาจทำให้เกิดกระบวนการการชนกันแบบต่อเนื่องระหว่างอะตอมของเป้าอันทำให้เกิดการปลดปล่อยอะตอมจากเป้าสารเคลือบซึ่งเรียกว่ากระบวนการการสปัตเตอร์

2. กระบวนการสปัตเตอร์เป็นกระบวนการที่อะตอมผิวน้ำของวัสดุถูกทำให้หลุดออกมากด้วยการชนของอนุภาคพลังงานสูง โดยมีการแตกเปลี่ยนพลังงานและโมเมนตัมระหว่างอนุภาคที่วิ่งเข้าชนกับอะตอมที่ผิววัสดุดังกล่าว กระบวนการนี้อนุภาคที่วิ่งเข้าชนอาจเป็นกลางทางไฟฟ้าหรือมีประจุบวกได้ดังนั้นสิ่งที่จำเป็นในกระบวนการสปัตเตอร์คือ

2.1 เป้าสารเคลือบ ทำหน้าที่เป็นเป้าให้อนุภาคพลังงานสูงวิ่งเข้าชนจนมีการปลดปล่อยอะตอมของสารเคลือบลงเคลือบนวัสดุรองรับ

2.2 อนุภาคพลังงานสูง ซึ่งวิ่งชนเป้าสารเคลือบ แล้วทำให้อะตอมของเป้าสารเคลือบทหลุดออกมาก ปกติอนุภาคพลังงานสูงนี้อาจเป็นกลางทางไฟฟ้า เช่น นิวตรอน หรืออะตอมของธาตุต่างๆ แต่การทำให้อนุภาคที่เป็นกลางมีพลังงานสูงเกิน 10 eV เพื่อใช้ในกระบวนการสปัตเตอร์ทำได้ค่อนข้างยาก วิธีการหนึ่งที่นิยมคือการเร่งอนุภาคประจุภายในไจแอนต์ไซรัฟ ซึ่งสามารถควบคุมระดับพลังงานไอออนตามต้องการ อีกครั้นเป็นอนุภาคที่มีประจุนิตหนึ่งที่ผลิตได้ง่ายและสามารถเร่งให้มีพลังงานสูงภายในไจแอนต์ไซรัฟได้ แต่อีกครั้นมีมวลน้อยกว่าอะตอมของสารเคลือบมากทำให้การถ่ายเทพลังงานและโมเมนตัมต่ออะตอมสารเคลือบนั้นเป็นไปได้อย่างไม่มีประสิทธิภาพและไม่สามารถทำให้กระบวนการสปัตเตอร์เกิดขึ้นได้ ตามทฤษฎีทางฟิสิกส์การชนกันระหว่าง 2 อนุภาคที่มีการส่งถ่ายพลังงานและโมเมนตัมดีที่สุดจะเกิดขึ้นเมื่อมวลของอนุภาคทั้งสองมีค่าเท่ากันดังนั้นเราจึงเลือกการเร่งไอออนของแก๊สในสนามไฟฟ้าเป็นอนุภาควิ่งชนเป้าสารเคลือบซึ่งให้อัตราการปลดปล่อยเป้าสารเคลือบสูงเพียงพอ กับความต้องการ

2.3 การผลิตอนุภาคพลังงานสูง อนุภาคพลังงานสูงในระบบสปัตเตอร์ริงนี้จะต้องฉุดพลิกขึ้นอย่างต่อเนื่อง เพื่อให้กระบวนการเคลือบสารเกิดขึ้นได้อย่างต่อเนื่องจนได้ความหนาพิล์มบางตามต้องการ ทั้งนี้สามารถทำได้หลายวิธี เช่น การใช้ลำอนุภาคจากปืนไอออนที่มีปริมาณการผลิตไอออนในอัตราสูงหรือผลิตจากกระบวนการโกลว์ดิชาร์จ เนื่องจากปืนไอออนมีราคาค่อนข้างสูงและให้ไอออนในพื้นที่แคบ กระบวนการสปัตเตอร์ริงทั่วไปในระดับอุตสาหกรรมจึงนิยมใช้กระบวนการโกลว์ดิชาร์จในการผลิตอนุภาคพลังงานสูง



ภาพที่ 2-3 ลักษณะของเครื่องเคลือบสุญญากาศด้วยวิธีสปัตเตอร์ริง

3. ค่าyield ของสปัตเตอริ่ง (Sputtering Yield: S) คือค่าเฉลี่ยปริมาณการหลุดของอะตอม เป้าสารเคลือบต่อปริมาณการชนของไออ่อน 1 อนุภาคมีหน่วยเป็นอะตอมต่อไออ่อน การวัดค่าyield ทำได้โดยการหาน้ำหนักหรือความหนาที่ลดลงของเป้าสารเคลือบหรือหาได้จากวัสดุที่ถูกสปัตเตอร์หรืออาจหาได้จากการตรวจวัดสปัตเตอร์อะตอม (Sputter Atom) ขณะที่ยังฟุ้งกระจาย (พิษณุสุลี สรรษะ และชนสัดา รัตนะ. 2547) ค่าyield ของกระบวนการสปัตเตอริ่งจะเปลี่ยนไปตามภาวะต่างๆ ดังนี้

3.1 เปลี่ยนแปลงตามพลังงาน ไออ่อนการชนของอนุภาค 2 อนุภาคในแนวเดียวกัน การถ่ายเทพลังงานระหว่างอนุภาคจะเป็นไปตามสมการที่ 2-1

$$\Delta E = \frac{4mM}{(m+M)^2} \quad (2-1)$$

เมื่อ ΔE คือพลังงานที่ถ่ายเทระหว่างอนุภาค

m คือมวลอะตอมที่ถูกชน

M คือมวลของอะตอมที่วิ่งเข้าชน

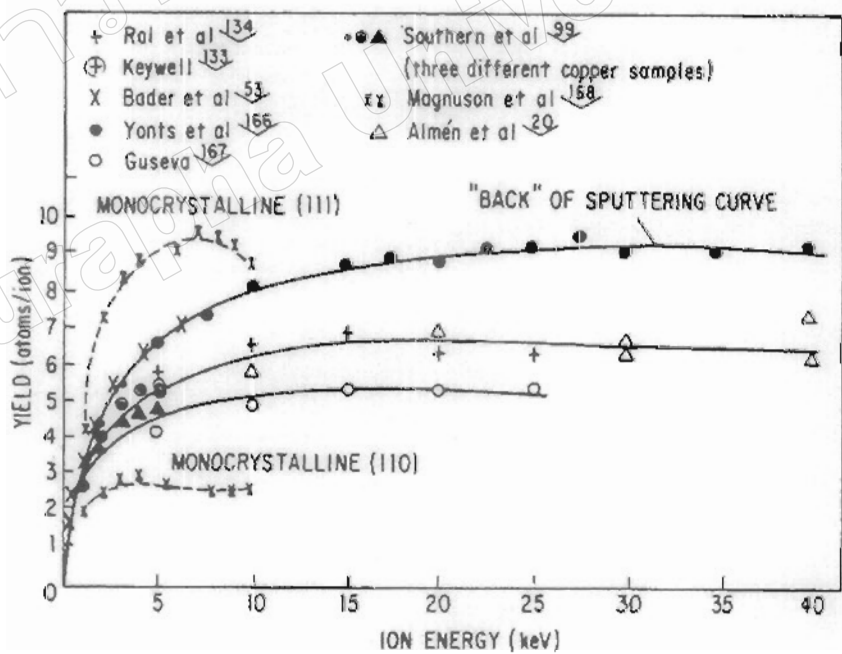
เมื่อพลังงาน ไออ่อนมีค่าต่ำมากค่าyield จากกระบวนการสปัตเตอริ่งจะมีค่าเป็นศูนย์เนื่องจากไม่สามารถเอาชนะแรงยึดเกาะระหว่างอะตอมบนเป้าสารเคลือบ ได้เมื่อ ไออ่อนมีพลังงานสูงขึ้นเกินกว่า $4H$ (H คือค่าพลังงานเฉลี่ยที่ใช้ในการระเหิด 1 อะตอมจากผิวสารเคลือบ) ถ้าพลังงาน ไออ่อนสูงมากพอในการทำให้เกิดกระบวนการชนอย่างต่อเนื่องระหว่างอะตอมสารเคลือบและเริ่มมีการปลดปล่อยอะตอมสารเคลือบรึยกพลังงานค่านี้ว่า พลังงานปิกเริ่ม (Threshold Energies) ซึ่งเปลี่ยนแปลงไประหว่างคุณภาพของการชนของอนุภาค (ตารางที่ 2-1)

เมื่อ ไออ่อนชนมีพลังงานสูงขึ้น yield จะเพิ่มขึ้นอย่างรวดเร็วแบบเอ็กซ์โพเนนเชียลในช่วงแรกและเปลี่ยนเป็นการเพิ่มแบบเชิงเส้นจากนั้นจึงมีการอิ่มตัว (Saturation) ของค่าyield เมื่อพลังงาน ไออ่อนมีค่าสูงมากทั้งนี้เนื่องจาก ไออ่อนพลังงานสูงมีโอกาสในการฝังตัวบนผิวเป้าสารเคลือบสูงขึ้นทำให้ค่าyield ของสารเคลือบมีค่าคงที่จากนั้นจะมีค่าลดลงเล็กน้อยเมื่อเพิ่มพลังงาน ไออ่อนให้สูงมากขึ้นดังแสดงในภาพที่ 2-4

ตารางที่ 2-1 พลังงานปีกเริ่มของเป้าสารเคลือบชนิดต่าง ๆ (Maissel & Glang, 1970)

	Ne	Ar	Kr	Xe	Hg		Ne	Ar	Kr	Xe	Hg
Be	12	15	15	15	-	Mo	24	24	28	27	32
Al	13	13	15	18	18	Rh	25	24	25	25	-
Ti	22	20	17	18	25	Pd	20	20	20	15	20
C	21	23	25	28	25	Ag	12	15	15	17	-
Cr	22	22	18	20	23	Ta	25	26	30	30	30
Fe	22	20	25	23	25	W	35	33	30	30	30
Co	20	25	22	22	-	Re	35	35	25	30	35
Ni	23	21	25	20	-	Pt	27	25	22	22	25
Cu	17	17	16	15	20	Au	20	20	20	18	-
Ge	223	25	22	18	25	Th	20	24	25	25	-
Zr	23	22	18	25	30	U	20	23	25	22	27
Nb	27	25	26	32	-						

Boldface values are those for which the energy-transfer factor $4m_1m_2/(m_1+m_2)^2$ is 0.9 or higher

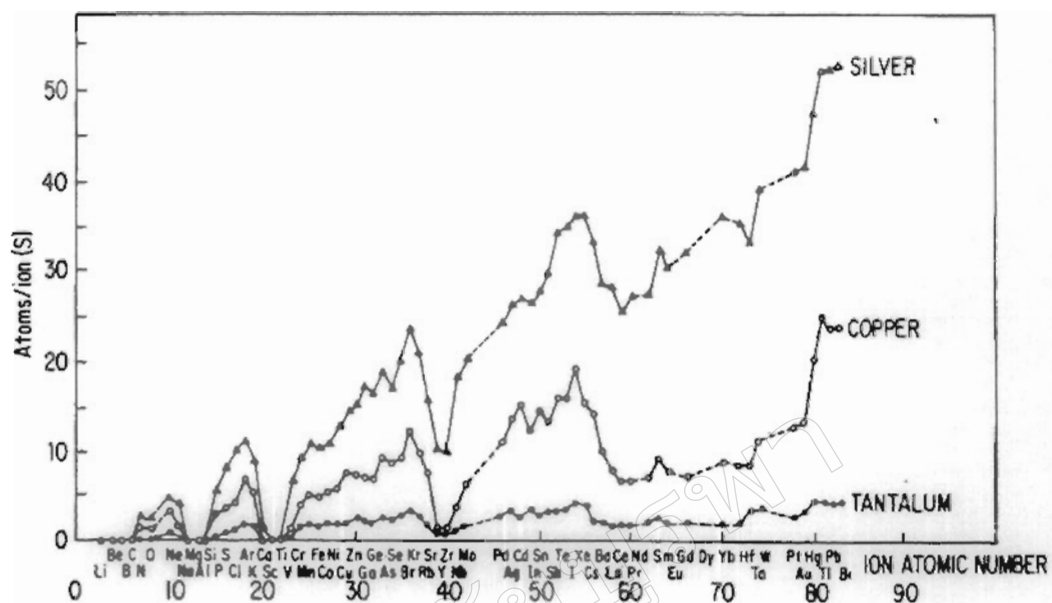


ภาพที่ 2-4 บีลด์ของทองแดงที่ถูกชนคัวๆ โดยอนจากแก๊สอาร์กอนที่พื้นที่งานต่าง ๆ
(Maissel & Glang, 1970)

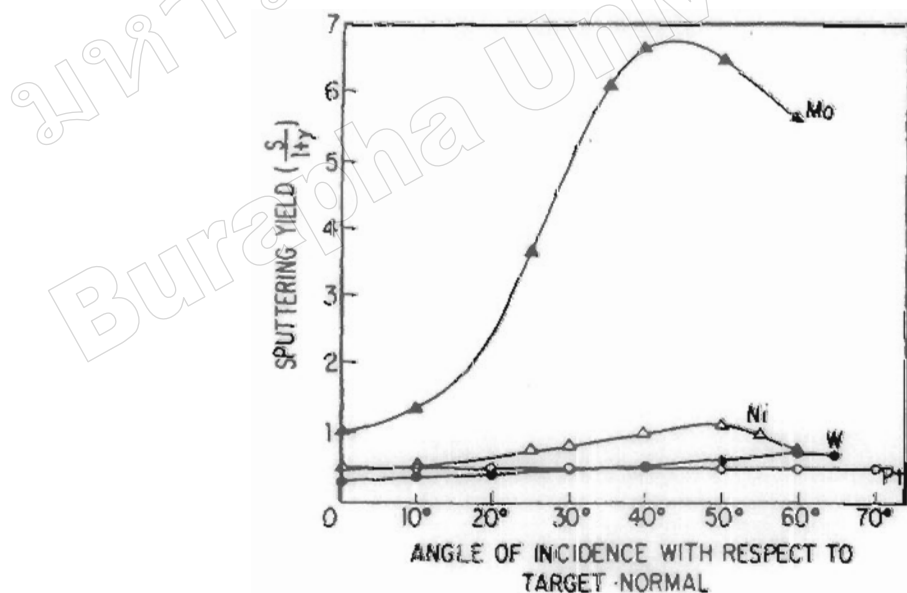
3.2 เปลี่ยนแปลงตามระนาบผลึกของผิวเป้าสารเคลือบจากการทดลองพบว่าเมื่อใช้เป้าสารเคลือบที่เป็นผลึกเดียวค่าขีดค่าจะมีค่ามากที่สุดเมื่อ.ioอนชนเป้าในแนวระนาบที่มีอะตอมหนาแน่นที่สุดและมีค่าต่ำในระนาบที่มีอะตอมเบาบางในทองแดงซึ่งมีโครงสร้างผลึกแบบ FCC (Face Centered Cubic) พบว่าการชนบนระนาบ (111) ซึ่งมีความหนาแน่นอะตอมสูงสุดขีดค่าจะมีค่าสูงสุดเมื่อใช้ค่าพลังงาน.ioอนในการชนค่าเดียวกันส่วนระนาบที่มีความหนาแน่นอะตอมต่ำ.ioอนมีแนวโน้มวิ่งฝังตัวในเป้าสารเคลือบมากขึ้น

3.3 เปลี่ยนแปลงตามชนิดของ.ioอนที่ชนเป้าสารเคลือบค่าขีดจากเป้าสารเคลือบชนิดเดียวกันเมื่อใช้ioอนต่างชนิดกันวิ่งชนจะมีค่าแตกต่างกันออกไปแม้สมการที่ 2-1 แสดงให้เห็นว่าการถ่ายเทพลังงานระหว่าง 2 อนุภาคที่ชนกันจะมีค่าสูงสุดเมื่อมวลของอะตอมทั้งสองมีค่าเท่ากันแต่อัตราของเป้าสารเคลือบยึดเกาะกับอะตอมข้างเคียงจึงทำตัวเสริมนิวเคลียสลดลงกว่ามวลของอะตอมเดียวกันเพื่อพบร่วมกันเมื่อใช้ioอนที่มีมวลสูงกว่ามวลของอะตอมเป้าสารเคลือบภาพที่ 2-5 แสดงการเปลี่ยนแปลงของค่าขีดพวนว่ามีค่าสูงสุดเป็นช่วงๆ ณ ตำแหน่งที่ใช้ioอนจากแก๊ส惰性气体 Ne, Ar, Kr, และ Xe ซึ่งเป็นอะตอมที่มีอิเล็กตรอนครบ 8 ในวงนอกสุดสามเหลี่ยมของการเกิดจุดสูงสุดของค่าขีดที่เป็นช่วงๆ นี้ยังไม่มีคำอธิบายที่ชัดเจน

3.4 เปลี่ยนแปลงตามมุมตัดกระหบของ.ioอนบนเป้าสารเคลือบจากการทดลองพบว่าเมื่อเพิ่มนูนเอียงของ การชนจาก.ioอนบนเป้ามากขึ้นขีดค่าจะมีค่าสูงขึ้นตามนูนที่เอียง เมื่อจากอะตอมสารเคลือบที่หลุดออกมานามาเปลี่ยนจากการกระเจิงกลับ (Back Scattering) เป็นการกระเจิงไปข้างหน้า (Forward Scattering) ซึ่งเป็นกระบวนการที่ต้องการจำนวนครั้งของการชนระหว่างอะตอมน้อยกว่าทำให้ขีดค่าสูงขึ้นจนถึงจุดหนึ่งซึ่งมีค่าสูงสุดที่องศาการเอียงมากกว่า 45° จากนั้นขีดค่าจะมีค่าลดลงเมื่อนูนสูงขึ้นและเป็นศูนย์เมื่อนูนเอียงมีค่า 90° โดยขณะนั้นพื้นที่การชนเมื่อจาก.ioอนมีค่าเป็นศูนย์ภาพที่ 2-6



ภาพที่ 2-5 การเปลี่ยนแปลงค่าขีดของเป้าห้องแสง (Cu), เมิน (Ag) และเทนทาลัม (Ta) เมื่อใช้ ไอนอนพลังงาน 45 keV จากธาตุที่มีเลขอะตอมค่าต่าง ๆ (Maisel & Glang, 1970)



ภาพที่ 2-6 การเปลี่ยนแปลงของขีดเมื่อใช้ไอนอนของป์รอทพลังงาน 200 eV ชนเป้านิกิล (Ni), ไมลิบดินัม (Mo), ทังสเทน (W) และทองคำขาว (Pt) ที่มุ่งการทากกระดาษค่าต่าง ๆ (วัดเทียบกับแนวชนตั้งจากบนเป้า) (Maisel & Glang, 1970)

4. ความเร็วและพลังงานของอะตอมที่ถูกสปีดเตอร์หลุดออกจากผิวน้ำเป้าสารเคลื่อน ด้วยวิธีการสปีดเตอร์มีพลังงานจนค่อนข้างสูงและมากกว่าพลังงานของอะตอมที่หลุดออกด้วย วิธีการระเหยสารประมาณ 50-100 เท่าอะตอมมีการกระจายพลังงานแบบ Maxwellian โดยที่ พลังงานส่วนใหญ่มีค่าต่ำกว่า 10 eV และอีกส่วนหนึ่งมีพลังงานระหว่าง 10-40 eV ถ้าไอออนที่ใช้มี พลังงานสูงขึ้นพลังงานเฉลี่ยของอะตอมจากสปีดเตอร์จะมีค่าสูงขึ้นจนเมื่อไอออนที่ว่างชั่นมี พลังงานเกิน 1 keV พลังงานเฉลี่ยของอะตอมจากการสปีดเตอร์จะไม่เพิ่มขึ้นและเป้าที่มีค่าอิเลคตรอนสูงมี แนวโน้มทำให้พลังงานเฉลี่ยของอะตอมที่หลุดออกมามีค่าต่ำเนื่องจากไอออนที่ว่างชั่นเมื่อเฉลี่ย พลังงานให้กับอะตอมที่หลุดออกมานานวนมากอะตอมแต่ละตัวจะรับพลังงานเฉลี่ยจากไอออน ได้น้อยลง

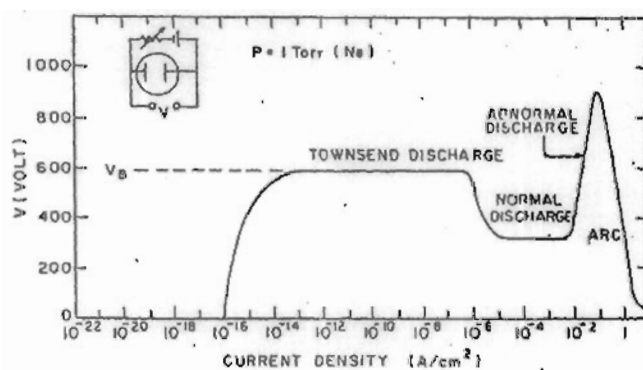
กระบวนการโกล์ดิศชาร์จ

พิเชญฐ ลีมสุวรรณ และธนสัตนา รัตนะ (2547) ได้อธิบายกระบวนการโกล์ดิศชาร์จไว้ ดังนี้ เมื่อป้อนแรงดันไฟฟ้ากระแสตรงให้กับขั้วอิเล็กโทรด 2 ขั้ว ที่วางห่างกันเป็นระยะ d ภายในได้ ความดันประมาณ 1.33 mbar ของแก๊ส惰性 gas อยู่ในช่องที่เพิ่มแรงดันทางไฟฟ้าจะมีกระแสไฟล ในวงจรน้อยมาก กระแสส่วนนี้เกิดจากการเคลื่อนที่ของอิเล็กตรอนและไอออนของแก๊สที่เกิดขึ้น ตลอดเวลาในบรรยายกาศเนื่องจากการชนของรังสีคิอสโนฟิกและถูกเร่งภายใต้สนามไฟฟ้า กระแสนี้จะ มีค่าค่อนข้างคงที่ เพราะอัตราการเกิดประจุขึ้นอยู่กับความเข้มของรังสี เมื่อสักครู่ไฟฟ้าเพิ่มขึ้นไกลักษ แรงดันไฟฟ้าทะลาย (Breakdown Voltage: VB) พลังงานของประจุที่ถูกเร่งภายใต้สนามไฟฟ้าจะมี ค่าสูงขึ้นจนสามารถชนโนมูลของแก๊สทำให้เกิดการแตกตัวเป็นไอออนบวกและอิเล็กตรอนซึ่งถูก เร่งภายใต้สนามไฟฟ้าให้มีการชนและเกิดการไออ่อนในซึ่งเพิ่มขึ้น ส่วนของไอออนบวกจะถูกเร่งเข้า ชนค่าโตก จนเกิดการปลดปล่อยอิเล็กตรอนทุติภูมิ (Secondary Electron) รึกระบวนการซึ่งนี้ ว่า ท่านเซนต์ดิศชาร์จ (Tawnsend Discharge)

เมื่อแรงดันไฟฟ้าเพิ่มขึ้นถึงแรงดันไฟฟ้าทะลายจะเกิดกระบวนการถล่ม (Avalanche) ทำให้ปริมาณไออ่อนบวกวิ่งเข้าชนค่าโตกมากขึ้นและมีการปลดปล่อยอิเล็กตรอนทุติภูมิมากขึ้น ซึ่งจะถูกเร่งให้วิ่งเข้าหาอาโนดขณะเดียวกันอิเล็กตรอนทุติภูมินี้ก็จะมีการชนกับโนมูลของแก๊ส ทำให้เกิดไออ่อนมากขึ้น ตุดท้ายไออ่อนบวกที่เพิ่มขึ้นมากขึ้นนี้ก็จะวิ่งเข้าชนค่าโตกแล้วเกิดการ ปลดปล่อยอิเล็กตรอนทุติภูมิเพิ่มขึ้นตามมาด้วย และชนโนมูลแก๊สทำให้เกิดผลิตไออ่อนเพิ่มขึ้น ทำให้กระแสเพิ่มขึ้นอย่างรวดเร็วจนมีปริมาณไออ่อนมากเพียงพอที่จะผลิตอิเล็กตรอนได้ในจำนวน คงที่ ซึ่งนี้ระบบสามารถรักษาสภาพดิศชาร์จได้ด้วยตนเองโดยไม่ต้องอาศัยแหล่งกำเนิดจากรังสี ภายนอกในการผลิตไออ่อน ซึ่งนี้แก๊สภายในระบบจะเกิดการเรืองแสงขึ้น แรงดันไฟฟ้าระหว่าง

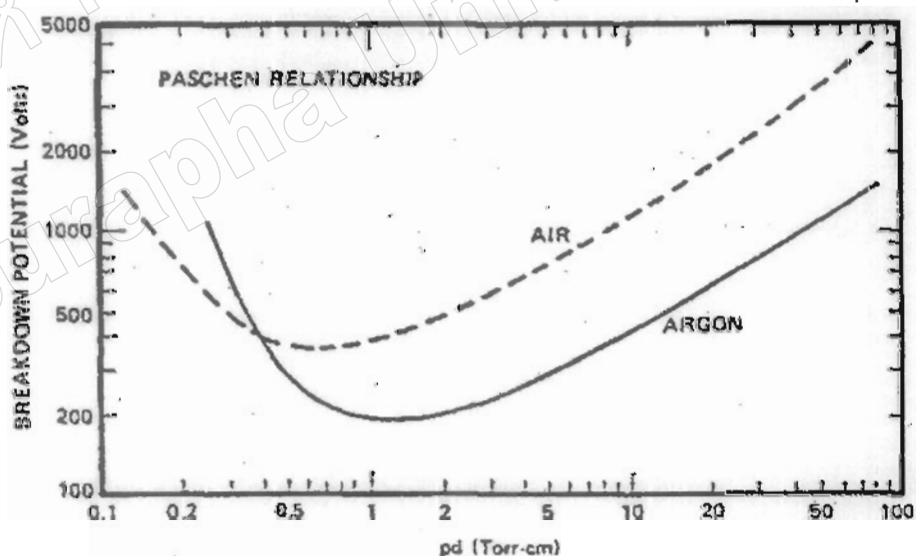
อิเล็กโทรดคู่ค่างและกระแสไฟฟ้าเพิ่มขึ้นอย่างรวดเร็วเรียก การเรืองแสงปกติ หรือ นอร์มอล โกลว์ (Normal Glow) สภาวะนี้อัตราการปลดปล่อยอิเล็กตรอนทุกๆ ภูมิภาคต่ออัตราการชนของไอออน มีค่าค่อนข้างต่ำ คือประมาณ 0.1 สำหรับเม็ดค่าโโทดที่ทำจากวัสดุหัวไวป์ โดยในช่วงเริ่มต้นของการ เรืองแสงหรือโกลว์ การชนของไอออนบนค่าโโทดจะปรับตัวเองให้เกิดขึ้นในบางบริเวณ แนวการ เรืองแสงอาจเลื่อนไปมาได้และการชนของไอออนบนค่าโโทด ไม่มีความสม่ำเสมอโดยจะมีความ เข้มของบริเวณการเรืองแสงตามแนวขอบหรือมุมของค่าโโทดที่มีสานาไฟฟ้าสูงเพื่อรักษาสภาพการ โกลว์ (Self-Sustaining) บางบริเวณไว เมื่อกระแสไฟฟ้ามีค่าเพิ่มขึ้นตามแนวการชนของไอออนจะ ค่อยๆ ขยายตัว เพิ่มพื้นที่จักรอบคลุมตลอดผิวค่าโโทด จนกระทั่งมีค่าความหนาแน่นกระแส เท่ากันตลอดโดยมีค่าแรงดันไฟฟ้าระหว่างขั้วอิเล็กโทรดคงที่

หลังจากการชนของไอออนครอบคลุมพื้นที่ทั้งหมดของค่าโโทดแล้ว การเพิ่มกำลังไฟฟ้า เข้าสู่ระบบจะทำให้ทั้งแรงดันไฟฟ้าและกระแสไฟฟ้ามีค่าเพิ่มขึ้น เรียกว่า ช่วงการเรืองแสงผิดปกติ เปลงแสงขึ้น หรือ แบบนอร์มอลโกลว์ (Abnormal Glow) เป็นช่วงที่ใช้กับระบบสเปกเตอริง และ อิักหลาด ระบบของกระบวนการเกี้ยวข้องกับโกลว์ดิสชาร์จ ช่วงนี้ถ้าไม่ระบายความร้อนให้กับ ค่าโโทด เมื่อความหนาแน่นของกระแสของค่าโโทดเพิ่มขึ้นสูงประมาณ 0.1 A/cm^2 ความร้อนที่เกิด จากการชนของไอออนบวกบนผิวค่าโโทดมีมากขึ้น จนเกิดการปล่อยอิเล็กตรอนแบบเทอร์มิออนิก (Thermionic Electron Emission) เสริมกับการปลดปล่อยอิเล็กตรอนทุกๆ ภูมิภาคติดตามคัวบ กระบวนการถล่มอิคริ่งหนึ่ง ทำให้ความนำไฟฟ้าของแก๊สในระบบสูงขึ้นอย่างรวดเร็ว แรงดันไฟฟ้าระหว่างขั้วอิเล็กโทรดตกลงมากขณะที่กระแสไฟฟ้าเพิ่มสูงขึ้นและเปล่งประกายจ้า ของการอาร์ค (Arc Discharge) ภาพที่ 2-7

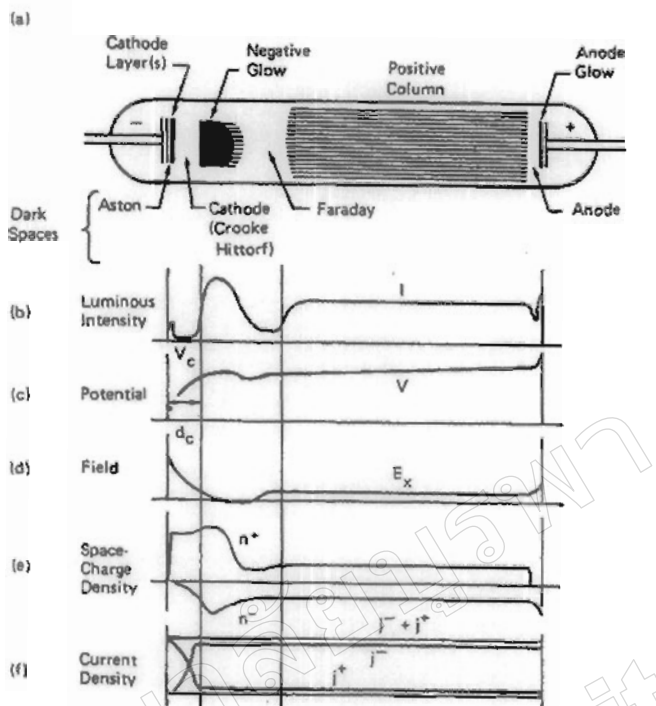


ภาพที่ 2-7 ความสัมพันธ์ของความหนาแน่นกระแสและแรงดันไฟฟ้าระหว่างขั้วอิเล็กโทรดของ กระบวนการเกิด ดีซี โกลว์ดิสชาร์จ ในหลอดสูญญากาศบรรจุแก๊สเนื้ออน (Vossen & Kerns, 1978)

ค่าแรงดันไฟฟ้าทะลายในกระบวนการ โกลว์ดิสชาร์จมีค่าเปลี่ยนแปลงไปกับระยะทาง d ระหว่างอิเล็กโทรดและระยะปลดการชนระหว่างอิเล็กตรอนทุติยภูมิ และไม่เกี่ยวข้องแก๊ส (ระยะปลดการชนของอิเล็กตรอนทุติยภูมนี้จะแปรผกผันกับความดัน และมีค่ามากกว่าระยะปลดการชนของการชนกันเองระหว่างไม่เกี่ยวข้องแก๊ส) ปกติอิเล็กตรอนทุติยภูมิแต่ละตัวมีความสามารถในการผลิตไออกอนบวกได้ระหว่าง 10 ถึง 20 ตัว เพื่อให้เกิดกระบวนการผลิตในช่วงของอนอร์มอล โกลว์ถ้าความดันต่ำเกินไป (ระยะปลดการชนยาวขึ้น) หรือระยะทาง d มีค่าน้อยเกินไป อิเล็กตรอนทุติยภูมิจะไม่สามารถผลิตไออกอนได้มากพอ ก่อนการชนกับอาโนด ถ้าความดันสูงเกินไป (ระยะปลดการชนสั้นลง) หรือระยะ d มากเกินไป อิเล็กตรอนทุติยภูมิไม่สามารถเพิ่มพลังงานให้กับตัวเองในสนาમไฟฟ้าได้มากพอสำหรับใช้ในการไออกอนนี้ เมื่อเกิดการชนพลังงานจะถูกถ่ายทอดให้ไม่เกี่ยวข้องแก๊สในรูปการกระตุ้น (Excite) ขึ้นไปอยู่ในระดับพลังงานที่สูงขึ้นทำให้ไม่สามารถผลิตไออกอนบวกได้มากเพียงพอ เช่น ดังนั้นห้องส่องกรณีจะต้องใช้แรงดันทางไฟฟ้าทะลายค่อนข้างสูง โดยมีจุดหนึ่งระหว่างนี้ที่ใช้ค่าแรงดันไฟฟ้าทะลายต่ำสุดตามกฎของปาเชน (Pachen's law) ซึ่งแสดงให้เห็นความสัมพันธ์ระหว่างแรงดันไฟฟ้าทะลายและผลคูณระหว่างความดันแก๊ส (P) และระยะระหว่างอิเล็กโทรด (d) (ภาพที่ 2-8)



ภาพที่ 2-8 ความสัมพันธ์ระหว่างแรงดันไฟฟ้าทะลายและผลคูณระหว่างความดัน(P) และระยะระหว่างอิเล็กโทรด (d) (Bunshah, 1994)



ภาพที่ 2-9 โกล์วัตซาร์ของหลอดคันอ่อนยาว 50 cm ที่ความดัน 1.33 mbar (Chapman, 1980)

ในระบบสปีกเตอริงหัวไปสภาวะของการเกิดโกล์วัตซาร์จะกระทำในช่วงที่ผลกุณของความดันกับระยะห่างระหว่างอิเล็กโทรด (Pxd) ซึ่งมีค่าต่ำกว่าจุดต่ำสุดของกราฟมาก (เนื่องจาก การเคลือบฟิล์มที่ความดันต่ำทำให้ฟิล์มที่ได้มีคุณภาพดีการแทรกตัวของแก๊สในเนื้อฟิล์มน้อยและ ลดปริมาณสารประกอบปนในฟิล์ม) จึงต้องการแรงดันไฟฟ้าเริ่มต้นค่อนข้างสูง บางครั้งจึงมี ความจำเป็นต้องใช้การเพิ่มความดันชั่วขณะเพื่อให้เริ่มการดิสชาร์จได้ที่แรงดันไฟฟ้าต่ำ

ส่วนต่าง ๆ ของกระบวนการโกล์วัตซาร์ แสดงดังภาพที่ 2-9 โดย ช่วงแรกคือช่วงมีด แอสตัน (Aston Dark Space) เป็นบริเวณที่อิเล็กตรอนถูกปล่อยจาก cathode ด้วยพลังงานต่ำประมาณ 1 eV ซึ่งไม่สามารถไอออกในชั้นโมเลกุลแก๊สได้ ทำให้เกิดเป็นช่วงมีดด้าน cathode ที่บริเวณที่มีการเปล่งแสงอย่างมากด้วยความเข้มสูงมากเรียกว่า คาโทดโกล์ว (Cathode Glow) เป็นบริเวณที่ไอออกของแก๊สจากการดิสชาร์จ และ ไอออกของอะตอนสารเคลือบซึ่งถูกผลิตขึ้นบริเวณ cathode มีการรวมตัวเป็นกลุ่มกับอิเล็กตรอนใกล้พิวคาโทดด้วยกระบวนการต่าง ๆ ทำให้เกิดแสงซึ่งเป็นความถี่ เนพาระของสารที่ทำคาโทดและของแก๊สที่ใช้ เช่น ถ้าคาโทดเป็นทองแดงจะมีสีเขียว ทองคำมีสีฟ้า แดง แก๊สอาร์กอนมีสีน้ำเงินฟ้า และแก๊สไนโตรเจนมีสีม่วง เป็นต้น

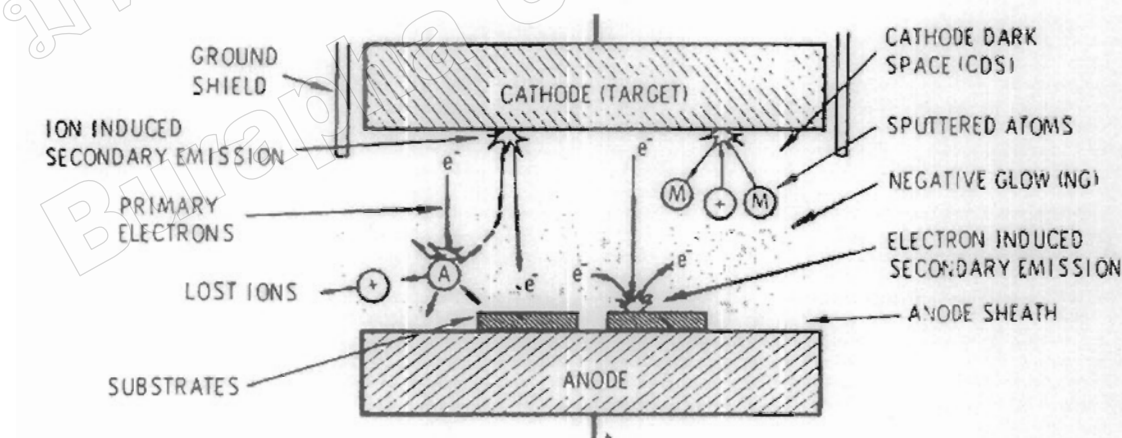
ถัดจากค่าโกล์วเรียกว่า ช่วงมีดครุกหรือช่วงมีดคาโทด (Crook or Cathode Dark Space) พลังงานของอิเล็กตรอนมีค่าสูงกว่าพลังงานในการไอออกไนซ์โมเลกุลของแก๊สมีอุบัติร่องผ่านสนามไฟฟ้าในระบบปลดปล่อยการชนอกมา ทำให้บริเวณปลดปล่อยการชนไม่มีการไอออกไนซ์เกิดขึ้น จึงไม่เกิดการปลดปล่อยแสงในช่วงนี้ กล้ายเป็นบริเวณมีด ถัดจากระบบปลดปล่อยการชนอิเล็กตรอนทุกๆ บุบบุนจะสูญเสียพลังงานส่วนใหญ่โดยการไอออกไนซ์โมเลกุลแก๊สไอนอนบุกที่เกิดขึ้นเคลื่อนที่ได้ช้ากว่าอิเล็กตรอน ทำให้ระบบปลดปล่อยการชนของอิเล็กตรอนมีการสะสมของไอนอนบุกอยู่มาก (Positive Space Charge) ศักย์ไฟฟ้าเกือบทั้งหมดคงครรุ่นบริเวณค่าโกล์ดคาร์บสเปชน์ทำให้สนามไฟฟ้าบริเวณนี้สูงขึ้นและมากเกินพอสำหรับการเร่งอิเล็กตรอนชนและไอนอนบุกแก๊สในเวลาถัดมาทำให้ หลังการเกิดนอร์มอลโกล์ว แรงดันไฟฟ้าที่ขึ้นอิเล็กโทรนิกมีค่าลดลงตามกราฟภาพที่ 2-8 ส่วนอิเล็กตรอนเมื่อเลนจากบริเวณผลิตไอนอนบุกของคาร์บสเปชแล้วจะมีพลังงานลดลง พลังงานที่เหลือเพียงในการกระตุ้นไอนอนบุกของแก๊สและการเรืองแสงขึ้น เมื่ออิเล็กตรอนจะเป็นอนุภาคที่เคลื่อนที่ได้เร็วแต่พลังงานที่เหลือน้อยมากรวมทั้งประจุบุกและประจุสะสมของไอนอนทางด้านซ้ายมือในบริเวณคาร์บสเปชทำให้อิเล็กตรอนใช้เวลาในการเคลื่อนที่ผ่านช่วงเรืองแสงนี้นานขึ้นและเกิดการสะสมประจุบุกบริเวณนี้จึงเรียกว่า เนกเกตฟิโกล์ว (Negative Glow)

หากนั่นอิเล็กตรอนจะมีพลังงานลดลงจนไม่สามารถกระตุ้นไอนอนบุกแก๊สให้เปลี่ยนไปอยู่ในระดับพลังงานสูง ได้ ทำให้เกิดบริเวณมีดอิกช่วงหนึ่งเรียกว่า ช่วงมีดฟาราเดย์ (Faraday Dark Space) ถัดจากช่วงนี้กระบวนการที่เกิดขึ้นคล้ายกับการคิดชาร์จของท่านนี้ เช่น ดึงมีปริมาณอิเล็กตรอนค่อนข้างคงที่อยู่เร่งภาชนะสำนวนไฟฟ้าค่าต่ำ ๆ ทำให้อิเล็กตรอนถูกเร่งเข้าสู่อาโนด และมีพลังงานสูงพอสำหรับการกระตุ้นไอนอนบุกของแก๊สหรือไอนอนบุกและเกิดการเรืองแสงขึ้นที่บริเวณนี้อีกครั้งหนึ่ง อิเล็กตรอนซึ่งเคลื่อนที่เร็วจะถูกความเร่งเข้าสู่อาโนดอย่างรวดเร็วทำให้พลาสมาบริเวณนี้มีประจุบุกสูงกว่าจึงเรียกว่า ลำเรืองแสงศักย์ไฟฟ้าบุก (Positive Glow Column)

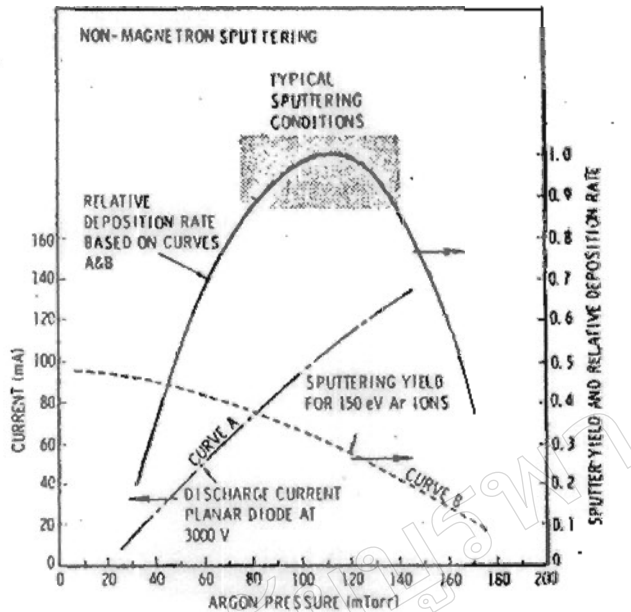
เนื่องจากโกล์ดคิดชาร์จขึ้นกับปริมาณของอิเล็กตรอนที่ถูกผลิตขึ้นบริเวณค่าโกล์ดจากการชนของไอนอนที่ถูกผลิตบริเวณนาฬิกาฟิโกล์ว จึงพบว่าการเปลี่ยนแปลงตำแหน่งอาโนดเพียงเล็กน้อยจะไม่มีผลต่อโกล์ดคิดชาร์จ เมื่อเลื่อนอาโนดเข้าหาค่าโกล์ดพื้นช่วงมีดฟาราเดย์เข้าสู่เนกเกตฟิโกล์วจะถูกดึงช่วงค่าโกล์ดคาร์บสเปช ทำให้ปริมาณไอนอนที่ถูกผลิตจากอิเล็กตรอนทุกๆ บุบบุนจะมีปริมาณน้อยลง การรักษาสภาพโกล์ดคิดชาร์จไว้จำเป็นต้องใช้แรงดันไฟฟ้าที่สูงขึ้นซึ่งจะส่งผลถึงปริมาณไอนอนที่ถูกผลิตสูงขึ้นด้วย การโกล์วในลักษณะนี้จะเรียกว่า ออปสตรัคโกล์ว (Obstructed Glow) และเมื่อเลื่อนอาโนดเข้าไปใกล้ค่าโกล์ดต่ำมากจนพื้นที่ของ ค่าโกล์ดคาร์บสเปช ซึ่งมีระยะสั้นกว่าระยะปลดปล่อยการชนของอิเล็กตรอน จะไม่มีการผลิตไอนอนเกิดขึ้นและกระบวนการคิดชาร์จไว้ได้ และถ้าหากมีสิ่งสกปรกบริเวณค่าโกล์ดการอาร์คอาจเกิดขึ้นได้โดยไม่เกิดการโกล์ดคิดชาร์จก็ได้

ระบบเคลื่อนแบบดีซีสปีตเตอริง

ภาพที่ 2-10 แสดงระบบเคลื่อนแบบดีซีสปีตเตอริงย่างง่ายที่สุด (พิเชยู ลิมสุวรรณ และธนสสา รัตน์, 2547; Bunshah, 1982; Smith, 1995) ซึ่งประกอบด้วย cathode (target) คือแผ่นที่จะถูกหักห้ามและวัสดุร่องรับหรือชิ้นงานที่ต้องการเคลื่อนปกติระยะห่าง cathode และวัสดุร่องรับจะอยู่ระหว่าง 4-10 cm เพื่อป้องกันการสูญเสียอะตอมสารเคลื่อนที่ผ่านของภายนอก วัสดุร่องรับจะอยู่ระหว่าง 1-4 cm โดยอาจจะอยู่บริเวณแนว cathode โกล์ว์ส่วนอุปกรณ์ทำงานจะอยู่ในช่วงขอบนอร์มอลโกล์วิดิศาร์จแก๊สที่ใช้เป็นแก๊สเนื้อบริสุทธิ์ให้ลดลงและไม่ทำปฏิกิริยากับสารเคลื่อน (ปกติใช้แก๊สอาร์กอน) ขณะเกิดโกล์วิดิศาร์จที่ความดันค่านี้จะมีกระบวนการไอออกไนเซ็นจะรักษาสภาพโกล์วิดิศาร์จไว้ต่ำที่ระดับค่าปกติไม่มากกว่าระยะห่าง cathode และอาจมีความดันลดลงหรือแรงดันไฟฟ้าระหว่างอิเล็กโทรดสูงขึ้นระดับปอดการชนของอิเล็กตรอนจะสูงขึ้นทำให้ระดับค่าปกติลดลงตามปริมาณของไอออกและกระแสไฟฟ้าในระบบที่ความดันต่ำกว่า 10^{-2} mbar ระดับค่าปกติจะมากกว่าระยะห่างอิเล็กโทรดและกระแสไฟฟ้าลดลงสู่ศูนย์ทำให้กระบวนการผลิตไอออกลิ่นสุดลงและไม่มีอะตอมหลุดออกจากเป้าสารเคลื่อนเนื่องจากการสปีตเตอร์อิก



ภาพที่ 2-10 ระบบเคลื่อนแบบดีซีสปีตเตอริง (Bunshah, 1994)



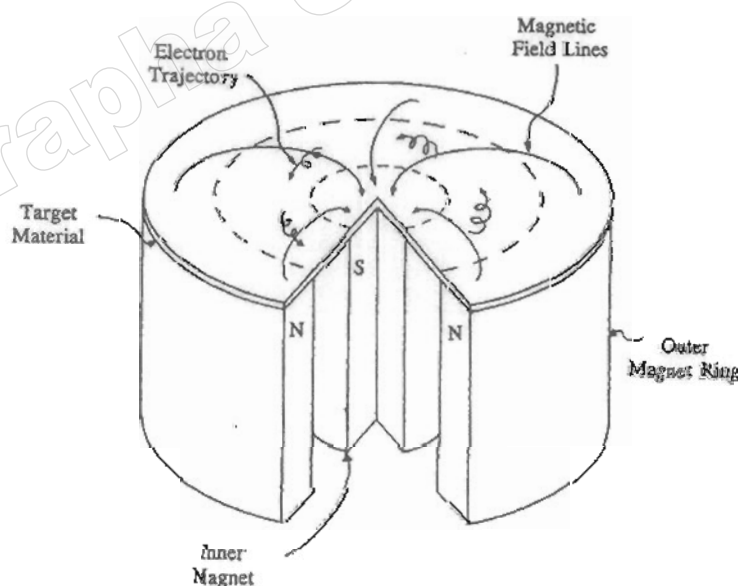
ภาพที่ 2-11 ผลของความดันในระบบที่มีผลต่ออัตราเคลือบค่าขีล์ด์และกระแสไฟฟ้าในระบบสปัตเตอริงของนิเกิลที่ใช้แรงดันไฟฟ้า 3,000 V ระหว่างขั้วอิเล็กโทรดที่วางห่างกัน 4.5 cm (Vossen & Kerns, 1978)

ขณะที่ความดันสูงขึ้นจะมีการเปลี่ยนแปลง บริเวณการผลิตไออกอนมีปริมาตรสูงขึ้นกระแสไฟฟ้าที่ไหลในวงจรเพิ่มขึ้นและกระบวนการสปัตเตอริงเกิดขึ้นในอัตราสูงตามความดันดังภาพที่ 2-11 เส้นกราฟ A ขณะที่ความดันภายในระบบสูงขึ้นจะมีผลต่อการชนระหว่างไมเดกูลของแก๊สมีค่าลดลงจะต้องสารเคลือบที่หลุดออกจากเป้าจะส่งผ่านเคลือบบนวัสดุรองรับได้จากจากการชนกับไมเดกูลของแก๊สและจะหักกลับสู่เป้าสารเคลือบหรือสูญเสียสู่ผนังภาชนะสูญญากาศทำให้ค่าของขีล์ด์จากการสปัตเตอร์มีค่าลดลงแต่เมื่อความดันสูงขึ้นดังภาพที่ 2-11 เส้นกราฟ B ผลกระทบจะว่าขีล์ด์และกระแสไออกอนจะทำให้อัตราการเคลือบมีค่าสูงสุดที่ความดันค่าหนึ่งทั้งนี้พบว่าการสปัตเตอร์นิเกิลเมื่อใช้แรงดันไฟฟ้า 3,000 V ระหว่างขั้วอิเล็กโทรดที่วางห่างกัน 4.5 cm ในแก๊สอาร์กอนการเคลือบจะหยุดที่ความดันมีค่าต่ำกว่า 2.6×10^{-4} mbar และที่ความดันสูงกว่า 1.6×10^{-5} mbar โดยอัตราเคลือบจะมีค่าสูงสุดและลดลงเมื่อความดันสูงเกินค่านี้ดังนั้นบริเวณที่เหมาะสมกับกระบวนการสปัตเตอริงคือบริเวณที่ให้อัตราเคลือบสูงและประสิทธิภาพดีที่สุดจากภาพที่ 2-11 พบว่าความดันที่เหมาะสมสำหรับการเคลือบคือ 1.0×10^{-5} mbar ความหนาแน่นกระแสประมาณ 1.0 mA/cm^2 ด้วยอัตราเคลือบ $0.036 \mu\text{m/min}$ ซึ่งเป็นอัตราเคลือบที่ค่อนข้างต่ำในขณะที่ใช้แรงดันไฟฟ้าค่อนข้างสูง (พิเชษฐ์ ลิ่มสุวรรณ และธนัสสา รัตนะ, 2547)

ระบบเคลื่อนแบบดีซีเมกนิตรอนสปีตเตอริง

อัตราการเกิดสปีตเตอริงนั้นจะขึ้นกับผลคุณระหว่างยีลเดร์และปริมาณไออกอนที่วิ่งเข้ามาเป้าสารเคลื่อนดังนี้ การเพิ่มอัตราการสปีตเตอร์นั้นนอกจากจะทำได้โดยการเพิ่มยีลเดร์แล้วยังทำได้โดยการเพิ่มปริมาณไออกอนที่วิ่งเข้ามาเป้าสารเคลื่อนซึ่งในระบบดีซีสปีตเตอริงปกตินั้นทำได้เพียงการเพิ่มแรงดันไฟฟาระหว่างอิเล็กโทรดหรือเพิ่มความดันซึ่งจะมีข้อจำกัดสูงสุดที่ความหนาแน่นกระแสประมาณ 1 mA/cm^2 และความดันประมาณ $1.33 \times 10^5 \text{ mbar}$ นอกจากนี้ยังพบว่าในระบบดีซีสปีตเตอริงทั่วไปอัตราของแก๊สที่จะเกิดการไออกอนซึ่งมีค่าเฉลี่ยกว่า 1% นอกจากนี้ยังมีข้อเสียเมื่อความดันสูงขึ้นจะทำให้ปริมาณแก๊สที่แทรกตัวในพิล์มนบางที่ไม่มีค่าสูงคุ้ม (พิเชญชัย ลิ้มสุวรรณ และธนสักา รัตนะ, 2547)

ต่อมาเมื่อการพัฒนาระบบที่เรียกว่า ระบบดีซีเมกนิตรอนสปีตเตอริง (พิเชญชัย ลิ้มสุวรรณ และธนสักา รัตนะ, 2547; Smith, 1995) ซึ่งเป็นการใช้สนามแม่เหล็กช่วยโดยจ่ายสนามแม่เหล็กใหม่ที่คนน้ำกับผิวน้ำเป้าสารเคลื่อนและมีศักดิ์ตั้งจากกับสนามไฟฟ้าซึ่งจะช่วยเพิ่มระยะเวลาเดินของอิเล็กตรอนให้ยาวขึ้น โดยจำนวนของสนามแม่เหล็กจะทำให้อิเล็กตรอนเคลื่อนที่เป็นทางโค้ง (ภาพที่ 2-12) ทำให้การไออกอนซึ่งเนื่องจากการชนระหว่างอิเล็กตรอนกับอะตอมแก๊สเพิ่มขึ้นซึ่งจะทำให้อัตราการสปีตเตอร์สูงขึ้นคุ้ม



ภาพที่ 2-12 การเคลื่อนที่ของอนุภาคอิเล็กตรอนในสนามแม่เหล็ก (Rickerby & Matthews, 1991)

สำนักหอสมุด มหาวิทยาลัยบูรพา
ต.แสนสุข อ.เมือง จ.ชลบุรี 20131

23

ทั้งนี้จากการศึกษาการเคลื่อนที่ของอิเล็กตรอนในสนามแม่เหล็กพบว่าถ้าอิเล็กตรอนมีทิศทางการเคลื่อนที่ตั้งฉากกับสนามแม่เหล็กอิทธิพลของสนามแม่เหล็กจะทำให้อนุภาคประจุบันเคลื่อนที่ในแนววงกลม (ภาพที่ 2-13 (a)) ด้วยรัศมี

$$r = \frac{3.37 \sqrt{W}}{B} \quad (2-2)$$

เมื่อ W คือพลังงานของอิเล็กตรอนในหน่วย eV

B คือความเข้มสนามแม่เหล็กในหน่วย gauss มนุนค์ความถี่ใช้โคลตอรอน

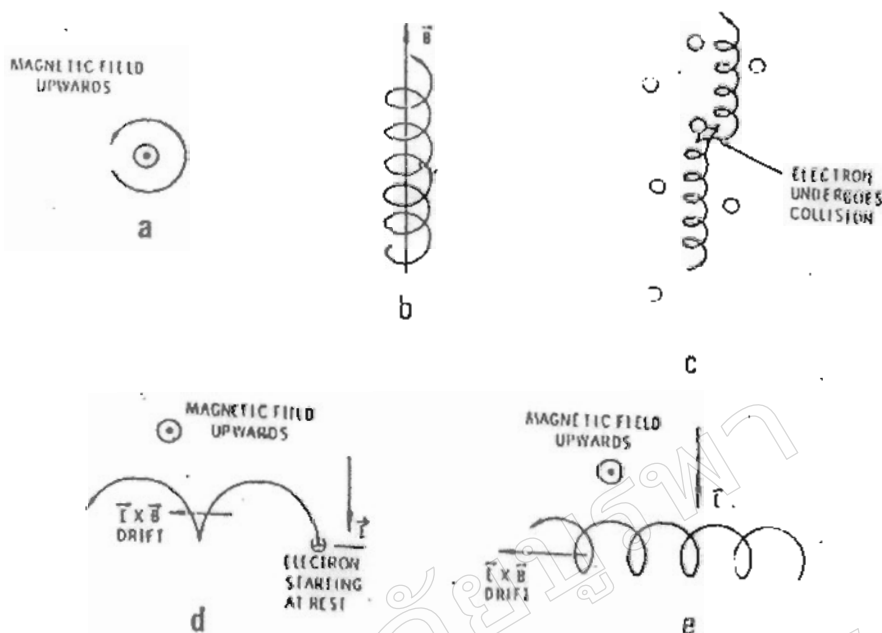
$$\nu = 2.8 \times 10^6 \text{ Hz}$$

ถ้าพลังงานเฉลี่ยของอิเล็กตรอนในแนวตั้งจากกับสนามแม่เหล็กมีค่า 10 eV และสนามแม่เหล็กมีค่าความเข้ม 100 gauss รัศมีการหมุนมีค่าเท่ากับ 0.1 cm ด้วยความถี่การหมุนเท่ากับ $2.8 \times 10^6 \text{ Hz}$ ภาพที่ 2-13 (b) แสดงอิเล็กตรอนมีความเร็วส่วนหนึ่งในแนวধনা กับสนามแม่เหล็ก อิเล็กตรอนจะเคลื่อนที่หมุนคงรอบแนวধনা แม่เหล็กด้วยจำนวนเส้นแรงคงที่ค่าหนึ่งระหว่างนี้ ถ้าอิเล็กตรอนชนกับอะตอมแก๊สภาพที่ 2-13(c) แนวการหมุนคงรอบสนามแม่เหล็กจะเปลี่ยนไป ถ้าอิเล็กตรอนเคลื่อนที่ภายในสนามแม่เหล็กและสนามไฟฟ้าซึ่งมีทิศทางตั้งฉากกันสำนักงานของ สนามห้องสองของจากจะทำให้อิเล็กตรอนเคลื่อนที่ในแนวโค้งแล้วบังสามารถทำให้เกิดการ เคลื่อนที่ในแนวตั้งจากกับสนามแม่เหล็กและสนามไฟฟ้าเรียกว่า การเคลื่อนที่แบบลอยเลื่อน (Drift Motion) มีค่าเท่ากับ

$$V_E = \frac{10^8 E}{B} \quad (2-3)$$

เมื่อ E คือสนามไฟฟ้าหน่วยเป็น V/cm

B คือความเข้มสนามแม่เหล็กในหน่วย gauss

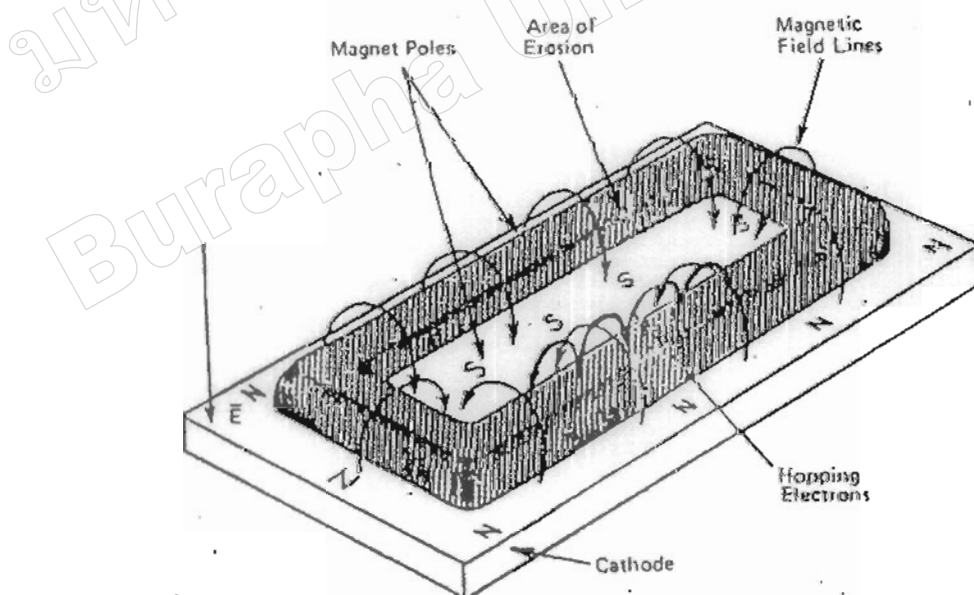


ภาพที่ 2-13 การเคลื่อนที่ของอนุภาคในสนามต่าง ๆ โดยที่ a, b, c เป็นการเคลื่อนที่ของอนุภาคประจุในสนามแม่เหล็กอยู่เบื้องต้นเดียวส่วน d และ e เป็นการเคลื่อนที่ของอนุภาคประจุในสนามแม่เหล็กและสนามไฟฟ้าร่วมกันในลักษณะต่าง ๆ (Bunshah, 1994)

กรณีสนามไฟฟ้าริเวณดีคัลสเปชนีค่าประมาณ $1,000 \text{ V/cm}$ และสนามแม่เหล็กมีค่าประมาณ 100 gauss จะให้ความเร็วอยเดือน (Drift Velocity) เท่ากับ 10^7 m/s ซึ่งเป็นค่าที่ค่อนข้างสูงกรณีพลังงานเริ่มต้นของอิเล็กตรอนมีค่าน้อยเมื่อเทียบกับพลังงานที่ได้รับจากสนามไฟฟ้าการเคลื่อนที่ของอิเล็กตรอนจะเป็นรูป Cycloid ดังภาพที่ 2-13 (d) ถ้าอิเล็กตรอนมีพลังงานเริ่มต้นสูงกว่าพลังงานที่ได้รับจากสนามไฟฟ้าการเคลื่อนที่แบบสอดคล้องจะอยู่ในแนววงกลมซ้อนกันดังแสดงในภาพที่ 2-13 (e) พฤติกรรมที่ปรากฏต่ออิเล็กตรอนนี้จะค่อนข้างมากซึ่งมีผลใช้สนามแม่เหล็กมีค่าน้อย ๆ ระหว่าง $50-500 \text{ gauss}$ แต่จะมีผลในการเรียงเบนแนวทางเดินของไอออน (ซึ่งมีมวลสูงกว่าอิเล็กตรอนมาก) อย่างไม่เด่นชัด

ระบบสปีตเตอริงที่ใช้สนามแม่เหล็กช่วยเพิ่มปริมาณไอออนนั้นถ้าสนามแม่เหล็กมีทิศทางขนานกับสนามไฟฟ้าจะเรียกว่า สนามตามยาว (Longitudinal Field) จะทำให้ประสิทธิภาพการเพิ่มไอออนไม่สูงนักแต่ไม่ทำให้แนวการเกิดโกล์วิดิชาร์จเปลี่ยนแปลงไปและยังสามารถรักษาความสม่ำเสมอของฟลัมบางไว้ได้ดีกรณีของสนามแม่เหล็กตั้งฉากกับสนามไฟฟ้าเรียกว่า สนามตามขวาง (Transverse Field) โดยกระบวนการเพิ่มปริมาณไอออนเกิดขึ้นดังนี้ หลังจากที่

ไอออนบวกชนกับเป้าสารเคลือบและเกิดการปลดปล่อยอิเล็กตรอนชุดที่สองของมายอิเล็กตรอนชุดที่สองจะเคลื่อนที่ในลักษณะเดียวกับภาพที่ 2-13 (d) ทำให้อิเล็กตรอนถูกกักอยู่ในบริเวณสนามแม่เหล็กใกล้ค่าโถดและเคลื่อนที่แบบลอยเลื่อนตามแนวผิวน้ำของค่าโถด (ภาพที่ 2-14) ทำให้อิเล็กตรอนมีโอกาสชนกับโมเลกุลแก๊สบริเวณผิวน้ำเป้าสารเคลือบมากขึ้นจนเพิ่มปริมาณไอออนสูงมากใกล้ผิวเป้าสารเคลือบอิเล็กตรอนตัวใดที่ไม่ชนโมเลกุลของแก๊สจะเดินทางเป็นวงโค้งเข้าชนเป้าสารเคลือบและผลิตอิเล็กตรอนชุดที่สองมากขึ้นเป็นผลทำให้ไอออนถูกผลิตในปริมาณสูงมากและเกิดใกล้ค่าโถดทำให้เกิดสเปซชาร์จากไอออนบวกสูงที่ผิวค่าโถดซึ่งอาจสั่นกว่าระเบียบของการชนในดีซีสปัตเตอริงที่ความดันใช้งานมากแรงเคลื่อนไฟฟ้าก่อให้เกิดผลกระทบต่อระบบแมgniton คร่อมบริเวณนี้และมีค่าสนามไฟฟ้าสูงกว่าบริเวณควร์คสเปซในดีซีสปัตเตอริงขณะไม่มีสนามแม่เหล็กมากทำให้ความต้องการแรงดันไฟฟาระหว่างขั้วอิเล็กโทรดของระบบแมgniton ลดลงทั่วไปมีค่าประมาณ 300-800 V ถ้าใช้สนามแม่เหล็กกับแมgniton ต่อนทรงกระบอก จะเรียกว่า แมgniton ต่อนสปัตเตอริงทรงกระบอก (Cylindrical MagetronSputtering) และถ้าใช้สนามแม่เหล็กกับระบบดีซีสปัตเตอริงที่ใช้เป้าแบบแผ่นราบจะเรียกว่า พลานาร์แมgniton ต่อนสปัตเตอริง (Planar Magnetron Sputtering)



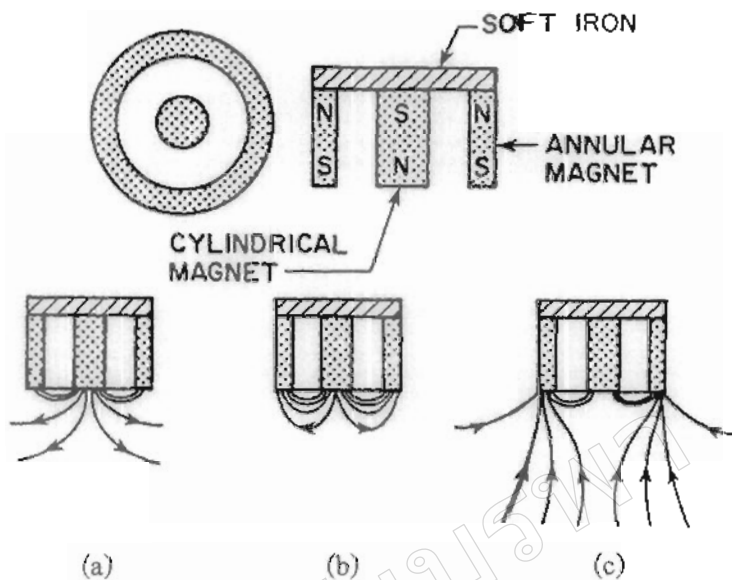
ภาพที่ 2-14 การจัดสนามแม่เหล็กและแนวการถักกร่อนของเป้าสารเคลือบในระบบพลาณาร์ ในระบบพลาณาร์แมgniton ต่อนสปัตเตอริง (Chapman, 1980)

ประสิทธิภาพการเพิ่มไอออนในระบบแมกนีตรอนและพลาสม่าที่เกิดขึ้นจะเข้มมาก บริเวณเป้าสารเคลือบทำให้อัตราการสปัตเตอร์ของระบบนี้มีค่าสูงขณะที่ความดันในระบบจะมีค่าต่ำแรงดันไฟฟ้าระหว่างอิเล็กโทรดมีค่าเกือบคงที่ที่ทุกค่าของอัตราการสปัตเตอร์แมกนีตรอน สปัตเตอริงทรงกระบอกทั่วไปมีอัตราการสปัตเตอร์สูงกว่า $1.0 \mu\text{m}/\text{min}$ และมีอัตราเคลื่อนสูงกว่า $0.2 \mu\text{m}/\text{min}$ ความหนาแน่นกระแสที่ผิวคาดประมาณ 20.0 mA/cm^2 แรงดันไฟฟ้าระหว่างอิเล็กโทรดมีค่าระหว่าง $300-800 \text{ V}$ ที่ความดันประมาณ $5.33 \times 10^{-5} \text{ mbar}$ ประสิทธิภาพการเคลือบสูงขึ้นกว่า 10 เท่าด้วยความสามารถย้ายสเกลใช้กับระบบสปัตเตอริงขนาดใหญ่ได้ง่ายเมื่อออกแบบใช้งานร่วมกับไตรโอดสปัตเตอริงระบบสามารถเคลือบได้ที่ความดันต่ำถึง 10^{-5} mbar

ระบบเคลือบแบบอันบาลานซ์แมกนีตรอนสปัตเตอริง

ในการเคลือบฟิล์มพบว่าถ้าระดับของไอออนระหว่างการเกิดฟิล์มจะเป็นการเปลี่ยนแปลงฟิล์มหลายอย่าง เช่น พฤติกรรมการเกิดนิวเคลียต (Nucleation Behaviour) ลักษณะวิถยา (Morphology) องค์ประกอบ (Composition) ทิศทางการจัดเรียงตัวและสมบัติเชิงกล เป็นต้น ในกรณีแมกนีตรอนสปัตเตอริงไอออนที่ใช้ในการระดมยิงวัสดุรองรับจะมาจากการประจุไฟฟ้าที่อยู่รอบวัสดุรองรับซึ่งทำได้โดยการจ่ายศักย์ลับประมาณ $1-500 \text{ V}$ ให้กับวัสดุรองรับอย่างไรก็ได้ ความหนาแน่นกระแสที่ฟิล์มหรือผิวน้ำของวัสดุรองรับสำหรับระบบดังนี้แมกนีตรอนปกติจะมีค่าต่ำประมาณ $0.05-0.10 \text{ ไอออน/อะตอมสารเคลือบ}$ แต่การใช้งานจริงต้องมีค่าสูงกว่านี้ (Rohde & Munz, 1991)

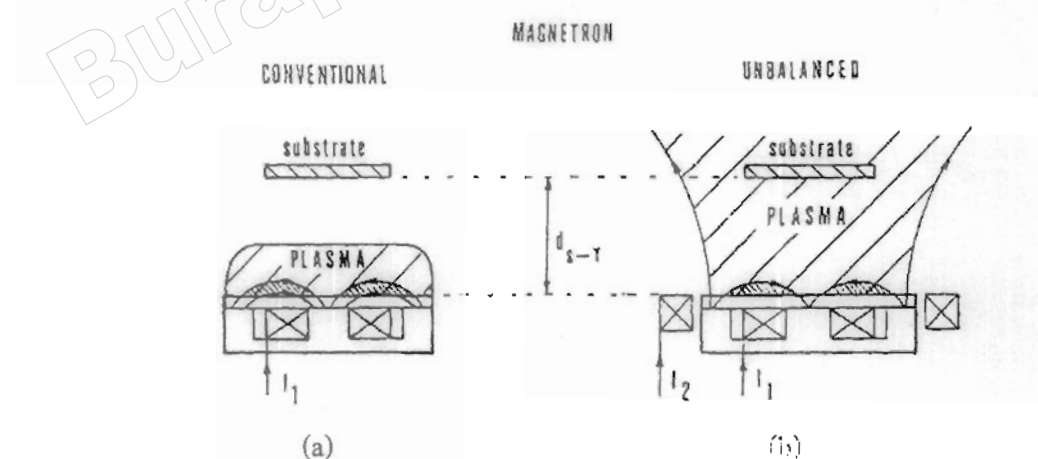
ดำเนินการเคลือบแข็ง (Hard coating) ฟิล์มบางที่ต้องการนั้นจะต้องมีช่องว่าง (Voids) ในเนื้อฟิล์มน้อยที่สุดซึ่งจะทำให้ฟิล์มบางที่ได้นั้นมีความทนต่อการกัดกร่อน (Corrosion) และทนต่อการขัดเสีย (Wear Resistance) มากยิ่งขึ้น โดยการลดช่องว่างในเนื้อฟิล์มนี้สามารถทำได้โดยการเพิ่มความต่างศักย์ไฟฟ้าให้กับวัสดุรองรับแต่ก็จะทำให้เกิดความเสื่อมและความบกพร่อง (Defects) ภายในเกรน (Grain) ของฟิล์มมากขึ้นเมื่อความต่างศักย์ไฟฟ้าเพิ่มขึ้นด้วยซึ่งจะทำให้คุณภาพของฟิล์มและการยึดติดของฟิล์มกับวัสดุรองรับลดลงเป็นอย่างมาก สามารถแก้ไขโดยการเพิ่มความหนาแน่นของกระแสไอออน (อัตราส่วนของไอออน/อะตอมสารเคลือบ) ซึ่งสามารถทำได้โดยใช้ร่างกายเคลือบแบบอันบาลานซ์แมกนีตรอนสปัตเตอริง (Unbalanced Magnetron Sputtering) (Rohde & Munz, 1991; Sproul, 1992)



ภาพที่ 2-15 ลักษณะเส้นแรงแม่เหล็กของระบบอันบานานซ์แมgnิตอรอนสปีดเตอริง
(Rickerby & Matthews, 1991)

ระบบอันบานานซ์แมgnิตอรอนสปีดเตอริงได้รับการคิดค้นและตีพิมพ์เผยแพร่โดย Window และ Savvides ครั้งแรกในปี ก.ศ.1986 โดยทั้งสองพบว่าการติดตั้งแม่เหล็กที่ค่าโถคนของระบบสปีดเตอริงปกตินั้นถ้าหากทำให้ความเข้มของสนามแม่เหล็กด้านใดด้านหนึ่งมากหรือน้อยกว่าอีกด้านหนึ่งแล้วสนามแม่เหล็กที่ค่าโถคนจะมีลักษณะไม่สมมาตรทำให้ปริมาณไอออนที่ว่างเข้าชนหรือระคมยิงวัสดุรองรับนั้นมีปริมาณเพิ่มขึ้นมากกว่าปกติซึ่งจะมีผลต่อคุณภาพของพิล์มนโดยตรงการจัดแม่เหล็กของระบบนี้อาจแบ่งเป็น 3 แบบคือความเข้มสนามของแม่เหล็กที่ด้านในมากกว่าด้านนอก (ภาพที่ 2-15 (a)) หรือกลับกัน (ภาพที่ 2-15 (c)) หรือใกล้เคียงกัน (ภาพที่ 2-15 (b)) ถ้าจัดแม่เหล็กตามภาพที่ 2-15 (a) ไอออนที่ระคมยิงวัสดุรองรับจะมีค่าต่ำ (อัตราการ ไอออน/อะตอมสารเคลื่อนประมาณ 0.25:1) ส่วนการจัดแม่เหล็กตามภาพที่ 2-15 (c) ไอออนที่ระคมยิงวัสดุรองรับจะมีค่าเพิ่มมากขึ้นทำให้อัตราส่วน ไอออน/อะตอมสารเคลื่อนมีค่าสูงขึ้นคือประมาณ 2:1 (เมื่อใช้ความต่างศักย์ไฟฟ้าและขนาดของแม่เหล็กที่เท่ากัน) ปัจจุบันมีนักวิจัยหลายกลุ่มที่นำแนวคิดนี้ไปประยุกต์ใช้อย่างแพร่หลายซึ่งมีทั้งที่ใช้แม่เหล็กแบบถาวรและแม่เหล็กไฟฟ้าจากการศึกษาของ Mursil และ Kadlec ที่ระบบเคลื่อนใช้อันบานานซ์พลาวร์แมgnิตอรอนเดี่ยวและชุดคลาวด์แม่เหล็กไฟฟ้า 2 ชุดเคลื่อนไฟฟ้านาโนเมตรในไตรค์ที่ระยะเป้าสารเคลื่อนและวัสดุรองรับประมาณ 200.0 mm โดยใช้ความต่างศักย์ไฟฟ้าและแรงดึงดูดที่เท่ากัน 100 V พบร่วมกับความสามารถทำให้ได้ความหนาแน่นกระแสสูงถึง 6.0 mA/cm^2 ซึ่งสูงมากพอสำหรับใช้ในงานอุตสาหกรรม (Munz, 1991)

หากพิจารณาเปรียบเทียบระบบสปีตเตอริงทั้ง 3 ระบบจะพบว่าในกรณีระบบสปีตเตอริงปกตินี้อิเล็กตรอนที่เกิดจากการไอออกไนซ์จะวิ่งไปจับทิอาโนดโดยไม่เกี่ยวข้องกับกระบวนการสร้างสปีตเตอร์เลยดังนั้นเพื่อให้ระบบสปีตเตอริงมีประสิทธิภาพมากขึ้นจึงมีแนวคิดที่จะนำอิเล็กตรอนเหล่านี้เข้ามาช่วยในการกระบวนการสร้างสปีตเตอร์ซึ่งทำได้โดยการใช้สนามแม่เหล็กช่วยทำให้เกิดอิเล็กตรอนบริเวณหน้าคาก็ได้ แม้แต่ในกรณีของสปีตเตอริงซึ่งเป็นที่ใช้สนามแม่เหล็กช่วยทำให้เกิดอิเล็กตรอนบริเวณหน้าคาก็ตาม เพื่อขึ้นเนื่องจากอิเล็กตรอนเหล่านี้จะมีส่วนช่วยทำให้กระบวนการสร้างสปีตเตอร์คงอยู่อย่างต่อเนื่อง จากจำนวนของสนามแม่เหล็กจะทำให้อิเล็กตรอนเคลื่อนที่เป็นทางโค้งทำให้เกิดการไอออกไนซ์ อะตอนแก๊สเนื้อข่ายสูงขึ้นนอกจากนี้สนามแม่เหล็กและสนามไฟฟ้ายังทำให้การเคลื่อนที่ของ อิเล็กตรอนที่วิ่งเข้าชนเป้าสารเคลือบมีลักษณะเป็นการชนแบบซ้ำๆ ต่อเนื่องกันทำให้เกิด อิเล็กตรอนชุดที่สองออกมายังบริเวณมากขึ้นซึ่งทำให้เกิดการสร้างรูมักตามไปด้วยแต่ก็ยังมี อิเล็กตรอนบางส่วนที่มีพลังงานสูงซึ่งสามารถกระชุกออกจากการทำงานของสนามแม่เหล็กนี้ได้ซึ่งจะ วิ่งเข้าหาข้าว่าในด็อกทันทีสำหรับในระบบอันบาลานซ์แมกนีตرونสปีตเตอริงนี้อิเล็กตรอน พลังงานสูงที่หลุดออกจากสนามแม่เหล็กจะถูกดึงไว้ด้วยเส้นแรงแม่เหล็กส่วนเกินของระบบแล้ว เคลื่อนที่เป็นทางโค้งไปตามเส้นแรงแม่เหล็กเข้าชนกับอะตอนของแก๊สเนื้อข่ายและเกิดการไอออกไนซ์ เป็นผลลัพธ์ที่สองบริเวณผิวน้ำของวัสดุรองรับทำให้ความหนาแน่นกระแสที่วัสดุรองรับมีค่า สูงมากกว่าในระบบแมกนีตرونสปีตเตอริงปกตินาม (ประมาณ $5.0-10.0 \text{ mA/cm}^2$ ปกติมีค่าน้อยกว่า 1.0 mA/cm^2) โดยพลาสม่าที่เกิดขึ้นนี้จะมีส่วนช่วยในการเคลือบฟิล์มที่เรียกว่า Ion-Assisted Deposition ซึ่งจะให้ฟิล์มบางที่ได้นั้นมีความหนาแน่นสูงและมีการยึดติดคีมิก (Munz, 1991)



ภาพที่ 2-16 ลักษณะพลาสมาระบบที่ใช้แมกนีตرونสปีตเตอริง (Munz, 1991)

(a) ระบบบาลานซ์แมกนีตرونสปีตเตอริง

(b) ระบบอันบาลานซ์แมกนีตرونสปีตเตอริง

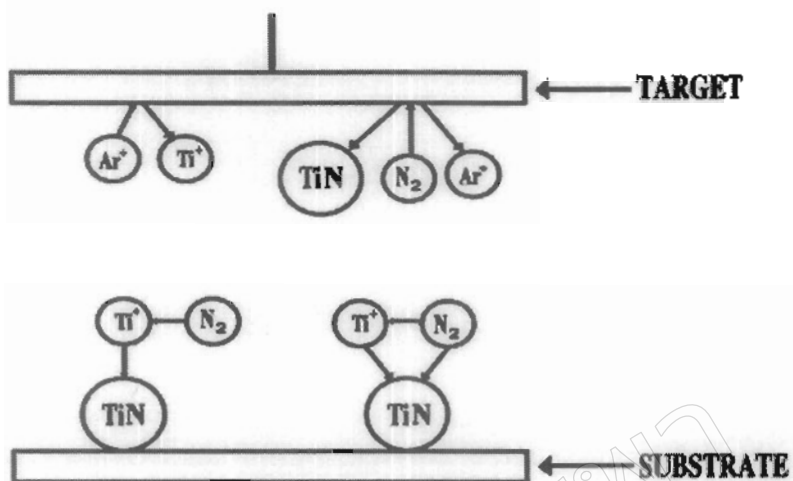
การเคลือบฟิล์มบางด้วยวิธีรีแอคตีฟสปัตเตอริง

การเคลือบด้วยวิธีรีแอคตีฟสปัตเตอริง (Reactive Sputtering) มติ ห่อประทุม (2548) ได้ อธิบายไว้ว่าเป็นกระบวนการสปัตเตอริงที่มีการป้อนแก๊สไวปูริกิริยา (Reactive Gas) เข้าสู่ระบบ เพื่อให้เกิดสารประกอบของฟิล์มเคลือบบนชั้นงานหรือวัสดุรองรับการสปัตเตอร์ที่มีเป้าสารเคลือบ เป็นโลหะบริสุทธิ์ โดยการป้อนแก๊สไวปูริกิริยา จะทำให้เกิดสารประกอบต่าง ๆ ของโลหะได้ เช่น การป้อนแก๊สในไตรเจนอาจทำให้เกิดโลหะในไตรค์ป้อนแก๊สอะเซทิลีน (C_2H_2) หรือ มีเทน (CH_4) อาจเกิดเป็นสารประกอบของโลหะかる์ไบค์ เป็นต้น ปกติความดันแก๊สไวปูริกิริยา ที่ใช้ค่อนข้างต่ำจังไม่พอต่อการเกิดปูริกิริยาในภาวะปกติอย่างไรก็ตามคาดกันว่าอิเล็กตรอนใน พลasma ที่มีส่วนไอออกไนซ์แก๊สไวปูริกิริยาให้มีความสามารถในการทำปูริกิริยากับโลหะได้สูงกว่า ภาวะปกติ โดยแก๊สไวปูริกิริยา เช่น แก๊สในไตรเจน (N_2) อาจรวมตัวกับโลหะ เช่น ไททาเนียม (Ti) แล้วเกิดเป็นสารประกอบไททาเนียมในไตรค์ (TiN) (ภาพที่ 2-17) ได้ 3 ลักษณะ ดังนี้

1. แก๊สไวปูริกิริยา เช่น แก๊สในไตรเจนทำปูริกิริยากับอะตอมไททาเนียมที่พิวนห้าเป้า ของสารเคลือบกล้ายเป็นสารประกอบไททาเนียมในไตรค์แล้วถูกสปัตเตอร์ให้หลุดออกแล้วตก เคลือบลงบนแผ่นวัสดุรองรับ ปูริกิริยาส่วนนี้เกิดขึ้นสูงเมื่อความดันย่อยของแก๊สไวปูริกิริยาใน ระบบมีค่าสูง พบว่า ในการเคลือบไททาเนียมในไตรค์บนฟิล์มเคลือบที่เป้าสารเคลือบ ส่วนที่มี อัตราการสปัตเตอร์ต่ำจะปรากฏฟิล์มของสีทองไททาเนียมบริเวณนั้น ปรากฏการณ์นี้เรียกว่า Target Poisoning มีผลทำให้อัตราการเคลือบลดลง

2. แก๊สไวปูริกิริยา เช่น แก๊สในไตรเจนรวมตัวกับอะตอมไททาเนียมที่ถูกสปัตเตอร์ ในระหว่างทางวิ่งสู่แผ่นวัสดุรองรับแล้วตกเคลือบลงบนแผ่นวัสดุรองรับ กระบวนการนี้ในทางทฤษฎี ถือว่าเกิดได้น้อยมากเนื่องจากสภาวะของการทำปูริกิริยาไม่เหมาะสมตามกฎอนุรักษ์พลังงานและ ไม่ เมนตัม แต่เป็นไปได้ที่การรวมตัวของสารประกอบจะเกิดในช่วงนี้

3. แก๊สไวปูริกิริยา เช่น แก๊สในไตรเจนรวมตัวกับไททาเนียมบนผิววัสดุรองรับหรือ ชั้นงาน การทำรีแอคตีฟสปัตเตอริง โดยทั่วไปความดันแก๊สไวปูริกิริยาที่เหมาะสมต่อการเกิด สารประกอบที่ต้องการมีค่าต่ำกว่าช่วงที่เกิดขบวนการ โกลว์ดิสชาร์จ ในกระบวนการจึงใช้แก๊ส ไวปูริกิริยากับแก๊สเฉื่อยทำให้รักษาสภาวะโกลว์ดิสชาร์จไว้ได้ ในเวลาเดียวกันช่วยให้อัตราเคลือบ สูงขึ้น ในการทำรีแอคตีฟสปัตเตอริง ยังมีสิ่งที่ต้องคำนึงถึงคือความดันย่อยของแก๊สไวปูริกิริยาต้อง มีค่าพอเหมาะสมกับการเกิดฟิล์มสารประกอบที่ต้องการ เช่น การเคลือบสารประกอบ Ferroferric Oxide (Fe_3O_4) ความดันแก๊สออกซิเจนที่ใช้ในรีแอคตีฟสปัตเตอริง ถูกจำกัดในช่วงความดันแคบ มาก ถ้าความดันย่อยของแก๊สออกซิเจนมากไปจะเกิดสารประกอบของ Ferric Oxide (Fe_2O_3) ถ้า น้อยเกินไปจะเกิดสารประกอบ Ferrous Oxide (FeO) หรือฟิล์มของเหล็ก (Fe)



ภาพที่ 2-17 การเกิดปฏิกิริยาร่วมตัวกันเป็นสารประกอบระหว่างแก๊สไวปฏิกิริยา กับอะตอม เป้าสารเคลื่อนในบริเวณต่าง ๆ (มติ ห่อประทุม, 2548)

การหาลักษณะเฉพาะของฟิล์มบาง

ลักษณะเฉพาะหรือสมบัติต่าง ๆ ของฟิล์มบางสามารถวิเคราะห์ได้จากเทคนิคต่าง ๆ หลายเทคนิค ในงานวิจัยนี้จะศึกษาลักษณะเฉพาะของฟิล์มบางต่อไปนี้ โครงสร้างผลึกเฟส ลักษณะพื้นผิว และความหนา ด้วยเทคนิคต่าง ๆ ดังนี้

- การศึกษาโครงสร้างด้วยเครื่อง X-ray diffractrometer (XRD) ลักษณะเฉพาะสำคัญอย่างหนึ่งของฟิล์มบางคือการศึกษาโครงสร้างผลึก หรือ เฟส ซึ่งสามารถวิเคราะห์ได้ด้วยเทคนิคการวิเคราะห์การเลี้ยวเบนรังสีเอกซ์ (Diffraction Analysis) กมล เอี่ยมพนา กิจ (2547) อธิบายหลักการของเทคนิคนี้ไว้ดังนี้ การวิเคราะห์การเลี้ยวเบนรังสีเอกซ์เป็นเทคนิคที่ใช้สำหรับการแยกแยะโครงสร้างของสารที่ใช้ในการเคลือบโดยการวิเคราะห์อาศัยการเปรียบเทียบรูปแบบการเลี้ยวเบนกับมาตรฐาน JCPDS (Joint Committee on Powder Diffraction Standard) ของสารนั้น ดังนั้นเทคนิค XRD เป็นเทคนิคสำหรับวัดค่าความเข้มของรังสีเอกซ์ที่สะท้อนจากผลึก ใช้หลักการของการเลี้ยวเบนของคลื่น โดยพบว่ารังสีเอกซ์เลี้ยวเบนได้เมื่อให้ต่อกำลังไฟฟ้า Bragg ได้เสนอแนวคิดว่าเราสามารถมองผลึกประกอบด้วยชั้น (Layer) หรือ ระนาบ (Plane) ของอะตอมซึ่งสามารถสะท้อนคลื่นที่ต่อกำลังไฟฟ้าโดยมุมที่ต่อกำลังไฟฟ้าเท่ากับมุมสะท้อนที่นั่นคือ θ ที่สะท้อนออกไปจากระนาบต่าง ๆ ดังกล่าวจะมีความเข้มสูง สำหรับรังสีเอกซ์ 1 และ 2 ต่อกำลังไฟฟ้าทำมุม α กับระนาบของผลึก A และ B ตามไฟฟ้าของรังสีเอกซ์จะก่อให้เกิดแรงคูลومป์กระทำบนอิเล็กตรอนที่ P กับ Q ให้สั่นด้วยความถี่เดียวกับรังสีเอกซ์ที่ต่อกำลังไฟฟ้า และอิเล็กตรอนนั้นแผ่คลื่นแม่เหล็กไฟฟ้าเป็น

รังสีเอกซ์ออกไซป์ทุกพิษทางแต่ในพิษทาง 1' และ 2' ซึ่งเสมือนรังสีเอกซ์สะท้อนออกจากระนาบของผลึกจะไปแทรกสอดแบบเสริมกัน (In Phase) แม้ว่าแบบจำลองที่กล่าวมาจะไม่ถูกต้องในทางกายภาพ เนื่องจากแท้จริงแล้วระนาบของอะตอมไม่ได้สะท้อนคลื่นแต่เวียนนี้ก็ใช้ได้ในทางเรขาคณิตพิจารณา

$$\delta = n\lambda \quad (2-4)$$

เมื่อ δ คือ ความแตกต่างของระยะที่คลื่นเดินทาง

λ คือ ความยาวคลื่น

n คือ จำนวนเต็มใด ๆ

จากภาพที่ 2-18

$$\delta = SQ + QT = 2SQ \quad (2-5)$$

จากรูปตรีgon มิติพื้นฐาน

$$\delta = 2PQ \sin \theta \quad (2-6)$$

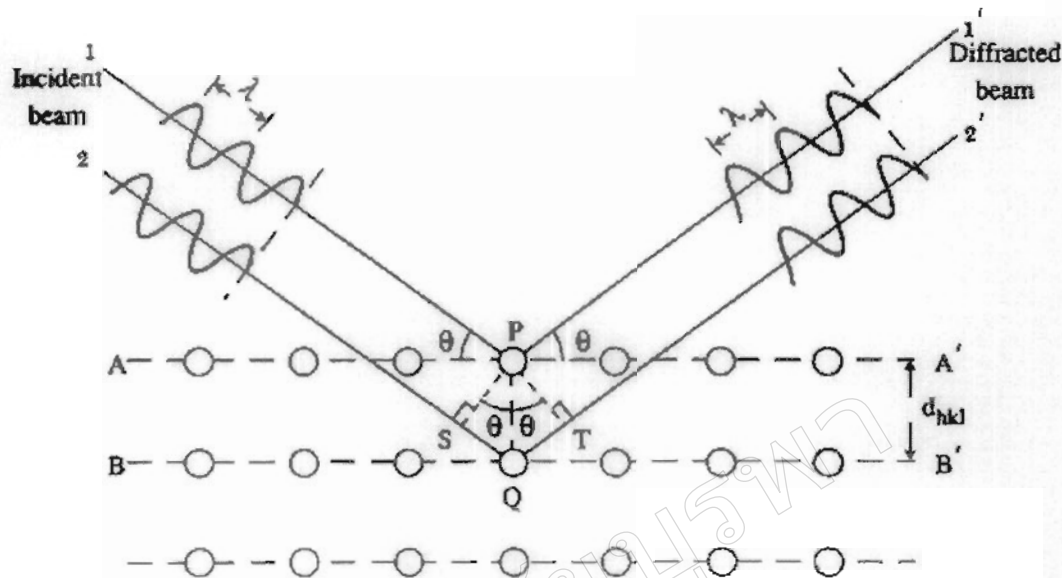
โดย PQ คือระยะห่างระหว่างระนาบ d_{hkl}

$$\delta = 2d \sin \theta \quad (2-7)$$

จากสมการ (2-4) เท่ากับ (2-7) จะได้

$$2d_{hkl} \sin \theta = n\lambda \quad (2-8)$$

เรียกสมการที่ 2-8 นี้ว่า สมการการเลี้ยวเบนรังสีเอกซ์จากผลึก (Bragg's law)
โดยที่ λ เป็นความยาวคลื่น n เป็นลำดับของการสะท้อน d_{hkl} เป็นระยะห่างระหว่างระนาบ (hkl)
และ θ เป็นมุมต่อกลางและมุมสะท้อนเมื่อวัดจากแนวระนาบที่กำลังพิจารณา



ภาพที่ 2-18 แบบจำลองการเรียงตัวของอะตอม (กมล เอี่ยมพนาภิช, 2547)

ในภาพที่ 2-18 เป็นแบบจำลองสำหรับการพิสูจน์กฎของเบรคก์ อะตอมเรียงตัวเป็นรูปเป็นโครงสร้างห่างระหว่างอะตอมใกล้เคียงกันความยาวคลื่นของรังสีเอกซ์ ($\sim 10^{-10}$ m) จะทำหน้าที่เป็นเสมือน เกรตติงเลี้ยวเบนแต่จะเป็นเกรตติงเลี้ยวเบนแบบ 3 มิติ

สัญญาณที่ตรวจจับได้แสดงในรูปแบบของการเลี้ยวเบนรังสี (Diffraction Pattern) ความเข้มของสัญญาณขึ้นอยู่กับ hely ปัจจัย เช่น โครงสร้างของวัสดุปริมาตรของวัสดุที่แผ่รังสี (Volume of Irradiated Material) รูปทรงของการหักเห (Diffraction Geometry) และการวางชิ้นงาน (Sample Alignments) เป็นต้น

ตำแหน่งของพีค ที่มีค่ามากที่สุดสามารถบอกถึงขนาดและรูปร่างของหน่วยเซลล์ได้ในขณะที่ความกว้างให้หาค่าขนาด การจัดเรียงตัว (Orientation) และความเครียด (Strain) ภายในเกรนของวัสดุหลายผลึก กรณีของการศึกษาขนาดของผลึกจากรายงานการวิจัยของ Kim, Hahn, Oh, and Kim (2002) ได้ทำการศึกษาขนาดของผลึกไทยาเนียม โดยใช้ Seherrer equation ดังสมการที่ 2-9

$$L = \frac{k\lambda}{\beta \cos\theta} \quad (2-9)$$

เมื่อ L คือ ขนาดของผลึกฟิล์ม ให้ทางเนียม ไดออกไซด์

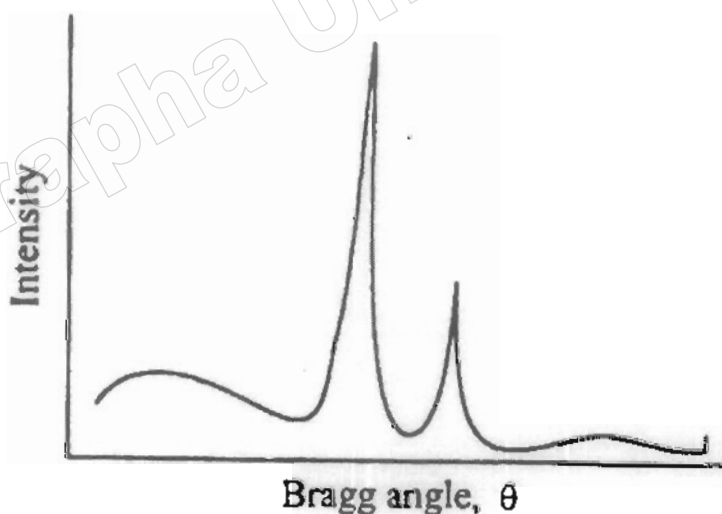
k คือ ค่าคงที่เท่ากับ 0.94

λ คือ ความยาวคลื่นของรังสีเอกซ์ ($CuK\alpha = 1.5406 \text{ \AA}$)

β คือ ความกว้างครึ่งหนึ่งของพีคที่มีความเข้มสูงสุด

θ คือ ครึ่งหนึ่งของมุมตรงข้ามศูนย์กลางพีค

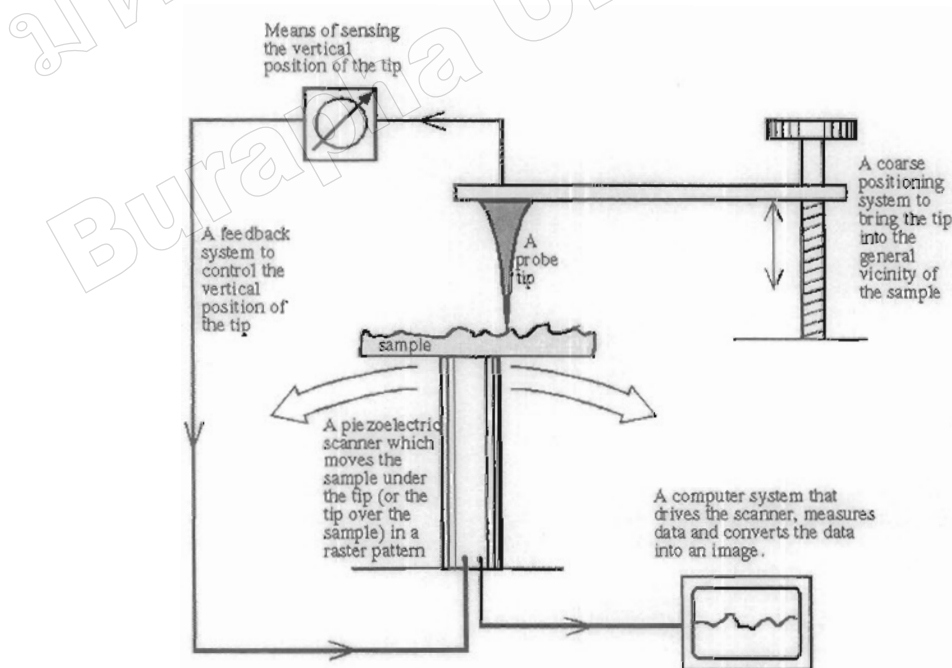
บางครั้งตำแหน่งของรูปแบบการเลี้ยวเบนที่วัดได้อาจจะเดินไปด้วยค่ามุมที่สูงขึ้นเนื่องจากผลของการเคนคงค้าง (Residual Stress) ในผิวสารเคลือบนั้นเอง ส่วนความเข้มของสัญญาณที่ได้อาจไม่เป็นไปตามค่ามาตรฐาน JCPDS เพราะเกิดการจัดเรียงตัวในทิศทางที่ชอบ (Preferred Orientation) ของอะตอมในฟิล์มนอกจากนี้เทคนิคการเลี้ยวเบนรังสีเอกซ์ยังสามารถให้ข้อมูลที่บ่งถึงส่วนผสมทางเคมีของเฟส (Phase Composition) และค่าพารามิเตอร์ของแลททิซ (Lattice Parameter)



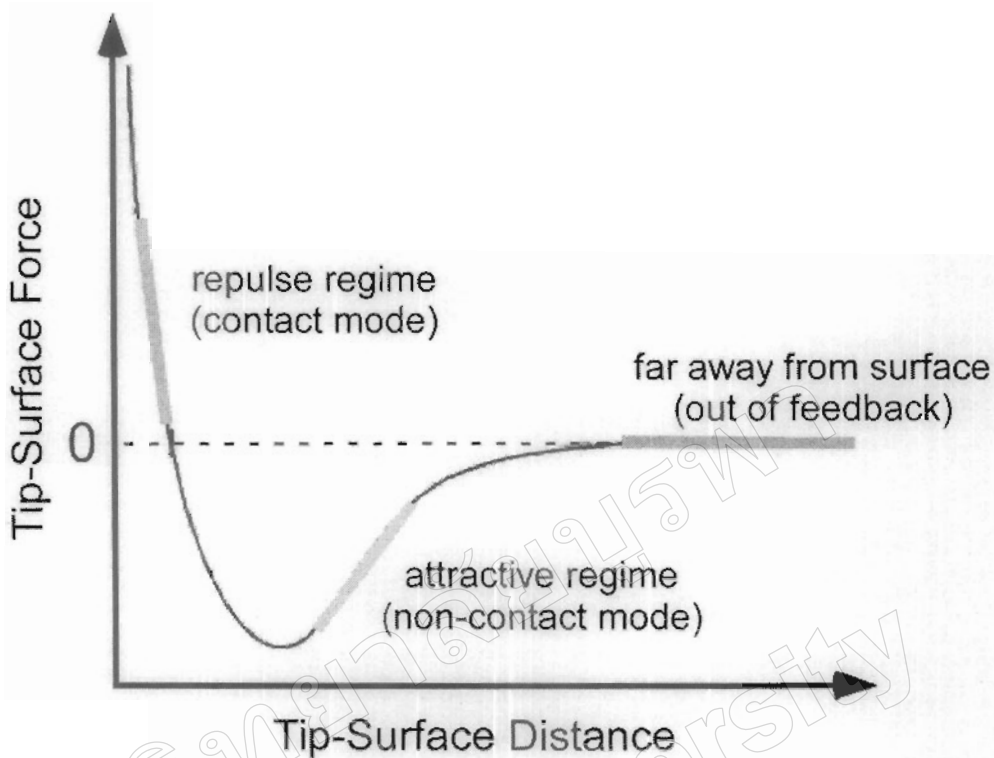
(b)

ภาพที่ 2-19 ความเข้มของพีคที่แสดงถึงรูปแบบผลึกของวัสดุในตำแหน่งที่มีการสะท้อนรังสี (มติ ห่อประทุม, 2548)

2. การศึกษาลักษณะพื้นผิวด้วยเครื่อง Atomic Force Microscopy (AFM) ลักษณะเฉพาะสำคัญอีกอย่างหนึ่งของฟิล์มบางคือการศึกษาลักษณะพื้นผิวและความหนาเทคนิคที่นิยมใช้ใน การศึกษาความหนาและลักษณะพื้นผิวของฟิล์มบางในระดับนาโน คือ Atomic Force Microscopy (AFM) ซึ่ง จตุพร วุฒิกานกภณูจน์ (2542) ได้อธิบายหลักการทำงานของเครื่อง AFM ไว้ดังนี้ เทคนิค Atomic Force Microscopy เป็นการสร้างภาพของผิวสัมผากแรงกระทำระหว่างผิวสัมผากับตัวตรวจวัดที่ทำการเข้มข้นดึง (Probe Tip) และเป็นเทคนิคหนึ่งในกลุ่มของ Scanning Probe Microscopy (SPM) ซึ่งเป็นกลุ่มเทคนิคใช้ในการศึกษาสภาพพื้นผิวของวัสดุประเภทต่าง ๆ ได้ หลักการพื้นฐานคือ การใช้เข็มตรวจวัดขนาดเล็กที่ทำการซิลิโคนไนโตรค์ (Silicon Nitride, Si₃N₄) เคลื่อนที่กราด (Scan) ไปทั่วบริเวณต่าง ๆ ของผิวสัมผสุ โดยมีตัวเพิยโซอิเล็กทริกสแกนเนอร์ (Piezoelectric Scanner) เป็นตัวควบคุม สภาพผิวที่แตกต่างกันไปประกอบให้เกิดการเปลี่ยนแปลงกับเข็มตรวจวัดแต่ละตัวกันไป โดยตัวควบคุมมีเข็มกระแสติดอยู่จะมีการโค้งงอ (Bending) ปริมาณการโค้งงอนี้สามารถตรวจวัดได้โดยใช้โฟโตเดกเตอร์ (Photo Detector) ดังภาพที่ 2-20 ภาพที่ได้จาก เทคนิคนี้จะสอดคล้องตามสภาพพื้นผิวในแต่ละบริเวณที่ตรวจสอบ ในเทคนิค AFM นี้ สิ่งที่ทำให้ งานที่มีเข็มเกาะอยู่ติดการโค้งงอขึ้นก็คือ แรงกระทำระหว่างอะตอม ซึ่งอาจจะเป็นแรงดึงดูดหรือ แรงผลักก์ได้ขึ้นอยู่กับระยะห่างระหว่างเข็มปลายแหลมกับพื้นผิว ดังแสดงในภาพที่ 2-21

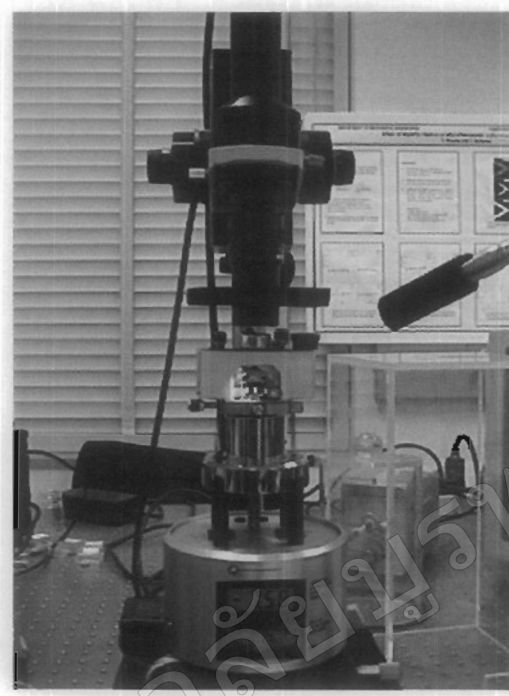


ภาพที่ 2-20 องค์ประกอบหลักของเครื่องมือ Scanning Probe Microscope
(อุดิษฐ บูรพาวงศ์, 2551)



ภาพที่ 2-21 ลักษณะของแรงกระทำระหว่างอะตอมที่เกิดขึ้นในระบบห่างระหว่างวัสดุต่าง ๆ
(อดิศร บูรพาวงศ์, 2551)

ภาพที่ 2-22 แสดงให้เห็นถึงเครื่อง Atomic Force Microscope รุ่น NanoScopellla บริเวณตระกัลางเป็นบริเวณที่ใช้วางชิ้นงาน โดยมีเข็มวัดวางอยู่ด้วย ส่วนที่บริเวณด้านบนของเครื่องมีจะมีกล้องจุลทรรศน์วิดีโอ (Video Microscope) ติดตั้งไว้ เพื่อใช้สำหรับดูตำแหน่งของเข็มที่จะทำการวางลงบนบริเวณต่าง ๆ บนผิว ภาพที่ได้จากกล้องจุลทรรศน์วิดีโอนี้แสดงทางของการ นอก จาก นี้ ใน บริเวณด้านบน จะมีแหล่งกำเนิดแสงเลเซอร์และไฟโตคีเทกเตอร์ที่ใช้วัดการ โค้งงอของความยืด



ภาพที่ 2-22 เครื่อง AFMแบบ Multimode (อดิศร บูรณวงศ์, 2551)

ลักษณะการเก็บข้อมูลด้วยเทคนิค AFM สามารถใช้เก็บข้อมูลได้ 4 แบบ (Mode)
ที่สำคัญดังนี้คือ

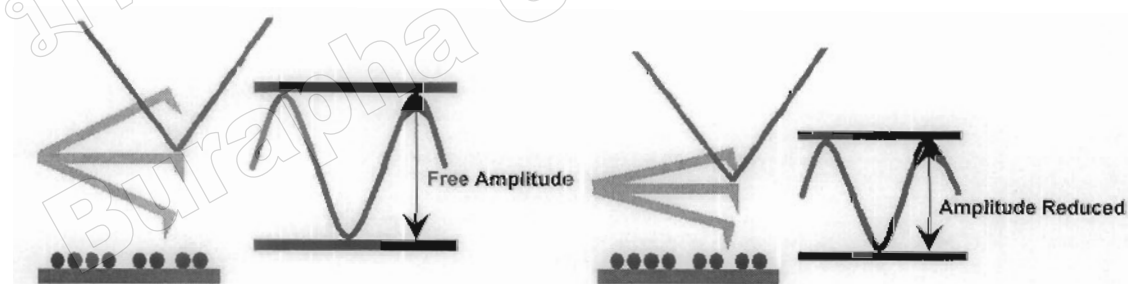
1. แบบสัมผัส (Contact Mode) เป็นการศึกษาสภาพผิวชั้นงาน โดยการขยับให้เข้าใกล้ (Slide) ไปบนผิวงานซึ่งทำให้มีแรงลักกิดขึ้น เนื่องจากเข็มกับผิวงานอยู่ใกล้กันมาก แรงลักกินี้จะเปลี่ยนแปลงไปตามสภาพผิวซึ่งทำให้มีการโถงตอ (Deflection) ของคานยื่น (Cantilever) ที่มีเข็มยึดเกาะอยู่ที่ปลาย โดยปริมาณการโถงของเปลี่ยนแปลงสอดคล้องเป็นไปตามลักษณะของผิวงาน

อย่างไรก็ตาม เทคนิคแบบ แบบสัมผัสสนับสนุนให้เสียบคือ การลากให้ตื้นๆ ตรวจสอบเดือนที่ใกล้ชั้นงานไปยังบริเวณต่างๆ บนผิวงาน อาจทำให้พื้นผิวสัตดุที่ศึกษาต่างไปจากสภาพเดิมที่แท้จริง หรืออาจเกิดความเสียหายขึ้นแก่ผิวงานได้ ยกตัวอย่าง เช่น ภายใต้สภาวะบรรยายกาศปกติซึ่งมีอากาศและความชื้นในอากาศ อาจเกิดหยดน้ำหรือสิ่งสกปรกบนผิวงาน ซึ่งเมื่อเข้าวัดเดือนที่ไปสัมผัสกับผิวที่มีชื้นบางๆ ของหยดน้ำและสิ่งสกปรกดังกล่าว จะทำให้มีแรงดึงไฟฟ้าสถิตและแรงตึงผิวดึงให้ตัวคานที่มีเข็มยึดอยู่ที่ปลายเคลื่อนที่ลงมาสัมผัสกับชั้นดังกล่าว ทำให้แรงระหว่างเข็มกับผิวงานที่เกิดขึ้น โดยรวมเปลี่ยนแปลงไป นอกจากนี้ ยังอาจทำให้ผิวงานถูกทำลาย เช่น เกิดการฉีกขาดจาก การลากเข้าไปบนผิวงาน

2. แบบไม่สัมผัส (Non-Contact Mode) เพื่อหลีกเลี่ยงปัญหาดังกล่าวข้างต้น จึงมีการพัฒนาเทคนิคแบบไม่สัมผัส ขึ้นมา โดยตัวเข็มปลายแหลมจะถูกยกขึ้นให้มีระยะห่างเหนือผิวงานสูงมากขึ้น คือประมาณ $10\text{-}100\text{\AA}$ จึงไม่มีปัญหารံ่องการทำลายโครงสร้างผิวงานโดยในกรณีนี้แรงกระทำระหว่างตัวงานที่มีเข็มปลายแหลมยึดเกาะอยู่กับผิวงานจะเป็นลักษณะแรงดึงดูดซึ่งเปลี่ยนแปลงไปตามรูปทรงของสภาพผิวงาน เช่นเดียวกัน

วิธีนี้มีข้อจำกัดเกี่ยวกับความละเอียดของภาพที่เกิดขึ้น นั่นคือ แรงดึงดูดประ趨ท์ แวนเดอร์วัลส์ (Van Der Waals) ที่เกิดขึ้นในกรณีนี้จะเป็นแรงที่อ่อนกว่าเมื่อเทียบกับแรงผลักที่เกิดขึ้นในกรณีของ Contact mode ดังนั้นการตรวจสอบอาจไว (Sensitive) ต่อสิ่งเปลปลอกปลอนที่อยู่บนผิวงาน เช่น หยดน้ำที่เกาะอยู่บนผิว

3. แบบแทะปิง (Tapping Mode) เป็นเทคนิคที่รวมเอาลักษณะของการวัดทั้งในแบบของแบบสัมผัส และแบบไม่สัมผัส เข้าด้วยกัน คล้ายกับขั้นตอนที่บังคับให้มีการสัมผัสนั้นระหว่างเข็มกับผิวงานในระยะที่ใกล้กันมาก เหมือนกับกรณีของแบบสัมผัส เพื่อให้เกิดภาพที่ชัดเจน ในขณะเดียวกัน ก็จะมีการสั่นหรือขับเข็มปลายแหลมให้เคลื่อนที่ขึ้นลงไปพร้อมๆ กับการเคลื่อนที่สแกนไปยังบริเวณต่างๆ บนผิวงาน ดังนั้นจึงเป็นการหลีกเลี่ยงปัญหาการลากไถเฉลี่ยนปลายแหลม ซึ่งจะทำให้เกิดการทำลายสภาพของผิวงานได้ เมื่อันในแบบสัมผัส



ภาพที่ 2-23 ลักษณะการสั่นของคานที่มีเข็มติด (อดิศร บูรณวงศ์, 2551)

ภาพที่ 2-23 แสดงการสั่นของคานในสภาวะอิสระหรือตอนเริ่มต้นที่ยังไม่เกิดการสัมผัส และขับเคลื่อนที่ไปบนผิวงาน จะเห็นได้ว่าแม่เหล็กดูดยังสูงอยู่เมื่อเทียบกับแม่เหล็กที่เกิดจากการสั่นของคานเมื่อมีการแตะสัมผัส (Tapping) ลงบนผิวงาน เนื่องจาก การสัมผัสนั้นมีการสูญเสียพลังงานของการสั่น ทำให้แม่เหล็กดูดของ การสั่น (Oscillation Amplitude) ลดลง ซึ่งค่าที่ลดลงนี้ใช้เป็นตัววัดและบอกถึงลักษณะของสภาพพื้นผิวที่มีความสูงต่างกัน ไปตัวอย่างเช่น เมื่อเพิ่มตัววัดเคลื่อนที่ผ่านบริเวณผิวงานที่มีความสูงขึ้นมา ตัวคานก็จะมีพื้นที่หรือแม่เหล็กใน

การสั่นลดลง ในทางตรงข้าม เมื่อเข้มปลา yal เหลมเคลื่อนที่ผ่านบริเวณผิวที่มีการยุบตัวหรือมีความลึกลงไป ตัวคานก็จะมีพื้นที่ในการสั่นเพิ่มขึ้น และมีแอมเพลจูดสูงขึ้น (เข้าใกล้และมีพลิจูดสูงสุดในสภาพที่ยังไม่มีการทำสแกน) แอมเพลจูดของการสั่นที่เปลี่ยนแปลงไปก็จะถูกวัดโดย แอมเพลจูดดีเทกเตอร์ (Amplitude Detector) แล้วส่งผลเข้าไปยังตัวควบคุมซึ่งจะทำการวัดสัญญาณพร้อมทั้ง ปรับระยะระหว่างเข็มกับผิวงาน เพื่อรักษาให้ค่าแอมเพลจูดของการสั่นให้คงที่ต่อไป จนกว่าจะมี การเปลี่ยนแปลงของแอมเพลจูดของการสั่นตามสภาพพื้นผิวในบริเวณดังไป

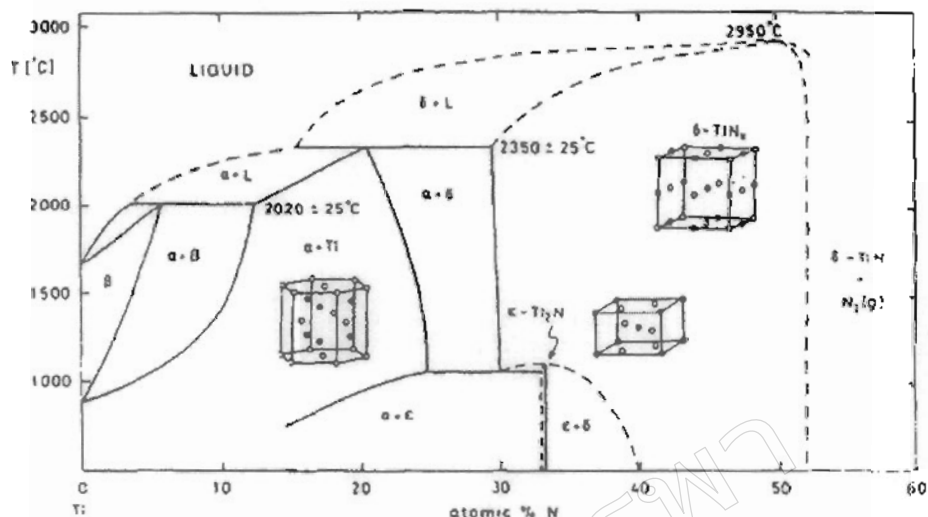
4. แบบโนมูลเดชัน (Force Modulation Mode) ของแรงสำหรับพื้นผิวของวัสดุที่มี องค์ประกอบหลายฟีส พนวณเทคนิค AFM ในวิธีแบบ แบบโนมูลเดชันของแรง จะเป็นที่นิยมใช้มาก โดยเทคนิคนี้ เป็นการวัดและสร้างภาพของพื้นผิวชั้นงานที่มีความแตกต่างของความแข็งแกร่ง (Stiffness) ในแต่ละเฟสสูง โดยในกรณีนี้ ตัวเข็มจะสแกนไปในลักษณะที่มีการสั่นในแนวตั้งจาก กับผิวสัมผัศดูดวัยแอมเพลจูดเล็กน้อย แต่จะมีความเร็วในการสั่นที่สูงกว่าการเคลื่อนที่สแกนของเข็ม และเมื่อตัวเข็มถูกนำเข้ามาติดกับผิวสัมผัศก็จะเกิดแรงต่อต้านจากผิวของวัสดุที่เกิดจากการ สั่นและทำให้ตัวคานงอ และถ้าหากว่าเราให้แรงที่ทำให้ตัวคานสั่นคงที่ พื้นผิวบริเวณที่แข็งกว่าจะ ทำให้เกิดการต่อต้านต่อการสั่นในแนวตั้งของตัวคานมากกว่า และจึงทำให้ตัวคานงอกกว่า ดังนั้น การเปลี่ยนแปลงของแอมเพลจูดที่เกิดจากการโก่งของตัวคานจึงนำมาใช้วัดเบรียบเทียบ ความแข็งที่บริเวณต่าง ๆ ของผิวงาน

หลักการของวิธีแบบแทบปิงกับแบบโนมูลเดชันของแรงคล้ายกันที่มีการสั่นของเข็มใน แนวตั้งพร้อมกับมีการสแกนไปบนพื้นผิวชั้นงาน อย่างไรก็ตามทั้ง 2 เทคนิค จะมีความแตกต่างกันคือ ในกรณีแบบโนมูลเดชันของแรง จะสั่นด้วยความเร็วสูงกว่า (สูงกว่าความเร็วในการสแกน) และการ วัดแอมเพลจูดที่เกิดจากการบิดของคาน เป็นการวัดเนื่องจากผลของแรงต้านการสั่น เมื่อมีการ สัมผัศของเข็มกับผิวงานในขณะที่ แบบแทบปิง จะเป็นการวัดการเปลี่ยนแปลงแอมเพลจูดของการ สั่นของคานที่เปลี่ยนแปลงไป (ลดลง) เนื่องมาจากมีการสูญเสียพลังงานไปเมื่อมีการสัมผัศผิวงานที่ มีระดับความสูงต่างกัน

ไทเทเนียมไนไตรด์

ไทเทเนียมไนไตรด์ (TiN) เป็นสารประกอบชนิดหนึ่งระหว่างธาตุ ไทเทเนียม (Ti) ซึ่งเป็นโลหะทรายซิชั่นในหมู่ 4 (IVB) กับธาตุไนโตรเจน (N) สารประกอบไทเทเนียมไนไตรด์นั้นถูกพบว่ามีสมบัติที่น่าสนใจทางประการเนื่องจากสามารถแสดงลักษณะเฉพาะของความเป็นสารประกอบโคเวเลนซ์และความเป็นโลหะออกما เช่น ความเป็นสารประกอบโคเวเลนซ์จะทำให้สารประกอบไทเทเนียมไนไตรด์ มีความแข็งและจุดเดือดสูงกว่าโลหะส่วนใหญ่ ทนต่อการขัดสีและการกัดกร่อน ส่วนความเป็นโลหะนั้นทำให้สามารถนำไฟฟ้าได้ดี มีความมั่นคง และถ้าสักส่วนระหว่างไทเทเนียมและไนโตรเจนเป็น 1:1 สารประกอบนี้จะแสดงสมบัติที่น่าสนใจอีกอย่างหนึ่ง ออกมาคือมีสีทอง เนื่องจากมีความสามารถในการสะท้อนแสงที่มีสเปกตรัมในบริเวณย่านแสงสีแดง ได้ดีกว่าในย่านแสงสีม่วง (Roquiny et al., 1999) ซึ่งจากสมบัติดังกล่าวนี้ทำให้มีการนำสารประกอบไทเทเนียมไนไตรด์มาประยุกต์ใช้โดยน้ำยาเคลือบเป็นพิล์มบางบนชิ้นงานเพื่อเพิ่มความแข็งแกร่ง ยืดอายุการใช้งาน ประยุกต์ใช้เป็นชั้นป้องกันการแพร่ (Diffusion Barriers) ในอุตสาหกรรมไมโครอิเล็กทรอนิกส์ (Kwak et al., 1999) รวมถึงโซลาร์เซลล์ (Smith et al., 2001) หรือใช้เคลือบเครื่องประดับ (Vaz et al., 2004) เป็นต้น

จากแผนภาพเฟสไ/do/แกรม (Phase Diagram) ของสารประกอบไทเทเนียมไนไตรด์ ดังแสดงในภาพที่ 2-24 พบว่า ไทเทเนียมไนไตรด์จะมีโครงสร้างผลึกอย่างน้อย 3 รูปแบบ ได้แก่ โครงสร้างแบบเซกซ์โกลนัล (Hexagonal) โครงสร้างลูกลาศก์แบบร็อกซอลต์ (rock salt) และ โครงสร้างแบบเตต拉โนนัล (Tetragonal) ซึ่งความแตกต่างกันในโครงสร้างผลึกทั้ง 3 รูปแบบเกิดจากปริมาณการเจือปนของไนโตรเจน เช่น ในเฟส $\alpha-Ti$ ที่มีโครงสร้างแบบเซกซ์โกลนัลจะมีปริมาณไนโตรเจนเจือปนอยู่ไม่เกิน 15% ส่วนเฟส $\delta-TiN$ ที่มีโครงสร้างลูกลาศก์แบบร็อกซอลต์จะมีอัตราส่วนของไนโตรเจนต่อไทเทเนียมระหว่าง 0.5 ถึง 1.1 หรือในเฟส $\epsilon-Ti_2N$ ที่มีโครงสร้างแบบเตต拉โนนัลจะมีปริมาณไนโตรเจนเจือปนอยู่ประมาณ 33-34% (Jiang, Tao, & Li, 1995) และนอกจากนี้ยังพบว่าความแตกต่างกันทางโครงสร้างนี้ยังส่งผลให้เกิดความแตกต่างในสมบัติทางไฟฟ้า และสมบัติทางกลของสารคั่ว ดังแสดงในตารางที่ 2-2



ภาพที่ 2-24 เพศไอโคห์แกรมของสารประกอบไทเทเนียมในไตรค์
(Molarius, Korhonen, & Ristolainen, 1985)

ตารางที่ 2-2 สมบัติของ TiN และ Ti ที่อุณหภูมิห้อง (Pierson, 1996; Oyama, 1996; Toth, 1971)

Property	TiN	Ti
Structure	Fcc(NaCl)	Hcp
Space Group	Fm3m	P6 ₃ /mmc
Range of Composition	TiN _{0.6-1.1}	N/A
Color	Gilden	Grey
Density	5.40 g/cm ³	4.51 g/cm ³
Melting Point	2950 °C	1940 °C
Specific Heat	37.0 J/mol.K	25.0 J/mol.K
Thermal conductivity	30 Watt/m.K	13 Watt/m.K
Thermal expansion	9.36x10 ⁻⁶ /K	11x10 ⁻⁶ /K
Electrical Resistivity (bulk)	20 ± 10 μΩ.cm	39 μΩ.cm
Hall Constant	-6.7x10 ¹¹ m ³ /C	-7.7x10 ¹¹ m ³ /C
Vickers Hardness	21-24 Gpa	0.55-2.5 Gpa
Young Modulus	590 Gpa	120 Gpa
Modulus of elasticity	612 Gpa	110 Gpa

งานวิจัยที่เกี่ยวข้อง

Valvoda (1995) ได้ศึกษาเปรียบเทียบระหว่างโครงสร้างระดับไมโครเมตรและพิโภเมตของฟิล์มบางไทเทเนียมในไตรค์ที่เตรียมได้จากวิธีแมกนีตรอน สปัตเตอริง โดยด้วยเครื่องศึกษาคือ อุณหภูมิ ความดันและพลังงานการระคมชนของไอออน ผลการทดลองพบว่าเมื่อเงื่อนไขในการเคลือบเปลี่ยนไป โครงสร้างผลึกของฟิล์มบางเปลี่ยนไปด้วยซึ่งเป็นลักษณะพิเศษที่ทำให้สารประกอบไทเทเนียมในไตรค์ที่เตรียมได้จากการเคลือบแตกต่างจากไทเทเนียมในไตรค์ที่เป็น Bulk Material

Pecz et al. (1995) ได้ศึกษาลักษณะโครงสร้างเฉพาะของฟิล์มบางไทเทเนียมในไตรค์ที่เตรียมได้โดยวิธีรีแอคตีฟ ดีซี แมกนีตรอน สปัตเตอริง บนแผ่นซิลิโคนที่มีรูนาบ (001) โดยศึกษาโครงสร้างของฟิล์มด้วยเทคนิค XTEM และ SE จากผลการทดลองพบว่าฟิล์มบางมีโครงสร้างเป็นไทเทเนียมในไตรค์ เมื่ออัตราการไอลของไนโตรเจนอยู่ระหว่าง $1.9 \sim 3$ sccm และท่ออัตราการไอลของไนโตรเจนอยู่ที่ 1.7 sccm พนวณว่าฟิล์มบางมีโครงสร้างเป็น Ti_2N

Meng and dos Santos (1997) ได้ศึกษาฟิล์มบางไทเทเนียมในไตรค์ที่เคลือบบนแผ่นแก้วโดยวิธีรีแอคตีฟ ดีซี แมกนีตรอน สปัตเตอริง ที่ความดันแก๊สในไตรเจนค่าต่าง ๆ ซึ่งผลของแก๊สในไตรเจนที่มีต่อโครงสร้าง สมบัติทางแสงและทางไฟฟ้าของฟิล์มบางศึกษาและวิเคราะห์จากการวัดค่า XRD, SEM, Optical Reflectance และค่าความดันทานไฟฟ้าของฟิล์มบาง จากการศึกษาพบว่า ขนาดความเข้มของรูนาบ (111) ลดลงเมื่อเพิ่มความดันของแก๊สในไตรเจน ส่วนค่าความดันทานไฟฟ้าของฟิล์มบางสัมพันธ์กับโครงสร้างของฟิล์มบาง โดยที่ฟิล์มบางที่มีความเข้มของรูนาบ (111) สูงก็จะมีค่าความดันทานไฟฟ้าสูง

Tarniowy, Mania, and Rekas (1997) ศึกษาถึงผลของการปรับสภาพฟิล์มบางด้วยความร้อนที่มีต่อโครงสร้าง สมบัติทางแสงและสมบัติทางไฟฟ้าของฟิล์มอัลลอยรูนไไทเทเนียมในไตรค์ที่เตรียมโดยวิธีรีแอคตีฟ ดีซี แมกนีตรอน สปัตเตอริง ซึ่งโครงสร้างและส่วนประกอบทางเคมีศึกษาโดยเทคนิค XRD, EDX และ electron microscopy ผลการทดลองพบว่า โครงสร้างที่เป็นอัลลอยรูนของฟิล์มบางประกอบด้วย TiN และ Ti_2N จะเปลี่ยนเป็นโครงสร้างผลึกเมื่อปรับสภาพด้วยความร้อนที่อุณหภูมิ 673 K ขึ้นไป และนอกจากนั้น สมบัติทางไฟฟ้าและทางแสงก็เปลี่ยนตามไปอีกด้วย

Roquiny, Bodart, and Terwagne (1999) ได้ศึกษาฟิล์มบาง TiN_x ที่เคลือบโดยวิธีรีแอคตีฟ ดีซี แมกนีตรอน สปีคเตอริง ที่อุณหภูมิต่ำกว่า 100°C บนวัสดุรองรับที่มีศักย์ไฟฟ้าเป็นศูนย์ สมบัติทางกายภาพของฟิล์ม เช่น โครงสร้างและส่วนประกอบทางเคมีถูกศึกษาและวิเคราะห์จากการวัดสมบัติทางแสงของฟิล์มบาง ผลการศึกษาพบว่าเมื่อความดันของแก๊สในไตรเจนเพิ่มขึ้น สีของฟิล์มบางเปลี่ยนจากสีเทาเป็นสีทองและสีน้ำตาลแดง ในที่สุด การเปลี่ยนแปลงสีของฟิล์ม อธิบายได้โดยใช้ Drude Model เมื่อพันธะโลหะของไทเทเนียมในฟิล์มบางลดลง เส้นสเปกตรัมของแสงที่สะท้อนออกมากขึ้นไปทางด้านแสงสีแดง จนกระทั่งเมื่ออัตราส่วนผสมของไทเทเนียมในฟิล์มบางลดลงเหลือน้อยที่สุด นั่นคือเมื่ออัตราการไหหของแก๊สในไตรเจนมากกว่า 4 sccm สีของฟิล์มบางมีแดง

Niyomsoan, Grant, Olson, and Mishra (2002) ได้ศึกษาถึงการแปรเปลี่ยนสีของฟิล์มบาง ไทเทเนียมและเซอร์โคเนียมในไตรค์ที่เตรียมได้จากกระบวนการ Cathodic Arc Evaporation ที่มีการควบคุมความหนาของฟิล์มให้คงที่อยู่ที่ $0.5 \mu\text{m}$ โดยศึกษาอัตราส่วนระหว่างในไตรเจนและชาตุกรานซิชันเหล่านี้รวมถึงปริมาณการเจือปนของออกซิเจนด้วย สีของฟิล์มศึกษาโดยการสะท้อนคลื่นแสงในช่วงที่ตามองเห็นได้ โดยแสดงที่สะท้อนออกมากจนนำไปเทียบกับระบบสี $L^*a^*b^*$ ผลการทดลองพบว่า เมื่อเพิ่มอัตราส่วนระหว่างแก๊สในไตรเจนและโลหะกรานซิชันเหล่านี้ ฟิล์มสะท้อนแสงสีทองลดลงแต่สะท้อนสีเหลืองเพิ่มขึ้น และเมื่อทำการเพิ่มปริมาณเจือปนของแก๊สออกซิเจน สีของฟิล์มนี้เปลี่ยนสีของฟิล์มเมื่อเพิ่มอัตราส่วนระหว่างแก๊สในไตรเจน และโลหะกรานซิชันและเพิ่มปริมาณเจือปนของแก๊สออกซิเจนเป็นไปในทิศทางเดียวกัน นั่นคือเปลี่ยนจากสีทองเป็นสีเหลืองขึ้น

Yukimura, Muraho, Kumagai, Saito, Kohata, and Maruyama (2003) ได้ศึกษาผลของความดันที่มีต่อโครงสร้างของฟิล์มบาง ไทเทเนียมในไตรค์ที่เตรียมโดยวิธี Plasma Based Ion Implantation & Deposition (PBID&D) ที่อัตราเคลือบสูง โดยที่พลาสมາถูกสร้างขึ้นจากการอาร์ค (Arc) ในแก๊สในไตรเจนของขั้วคาโทด (Cathod) ที่ทำจากไทเทเนียม ตัวแปรที่ศึกษาคือความดันของแก๊สในไตรเจน ผลการศึกษาพบว่า สีทองและระนาบผลึก (200) ของฟิล์มบางเกิดขึ้นที่ความดันแก๊สในไตรเจนระหว่าง 5.6 ถึง 8.5 Pa นอกจากนี้ยังพบว่าฟิล์มนี้ความเป็นผลึกสูง (high crystallinity) และมีความแข็งจุลภาค (Microhardness) สูงอีกด้วย

Jeyachandran, Narayandass, Mangalaraj, Areva, and Mielczarski (2007) ได้ศึกษา โครงสร้างสมบัติทางแสงของฟิล์มไทเทเนียมในไตรค์ที่เตรียมโดยวิธี ดีซีรีแอคติฟ แมกนีตรอน สปีตเตอริง ตัวแปรที่ใช้ในการศึกษาคือความดันแก๊สในไตรเจน (ความเข้มข้น 0.5 ~ 34 %) และ ความหนา สมบัติทางโครงสร้าง แสง ไฟฟ้า และส่วนประกอบทางเคมี ศึกษาด้วยเทคนิคการวัดค่า ความด้านทาน ไฟฟ้า, สเปกโตรโฟโตมิเตอร์, Spectroscopic Ellipsometry (SE), XPS, XRD, SEM และ Optical Microscopy ผลการศึกษาพบว่า ที่ความหนาของฟิล์มค่าหนึ่งสมบัติต่าง ๆ ของฟิล์ม เปลี่ยนไปเมื่อความดันแก๊สในไตรเจนเปลี่ยน (0.5 – 34%) และที่ความดันแก๊สในไตรเจนค่าหนึ่ง ๆ สมบัติต่าง ๆ ของฟิล์มจะเปลี่ยนไปเมื่อฟิล์มที่เตรียมได้มีความหนาต่างกัน เช่นกัน

Subramanian, Ashok, and Jayachandran (2008) ได้ศึกษาผลของอุณหภูมิของวัสดุ รองรับที่มีต่อ โครงสร้างของฟิล์มนางไทเทเนียมในไตรค์ที่เตรียมบนวัสดุรองรับที่เป็นเหล็กอ่อน ด้วยวิธี ดีซีรีแอคติฟ แมกนีตรอน สปีตเตอริง โครงสร้างของฟิล์มนางศึกษาโดยเทคนิค XRD และ SEM ผลการศึกษาพบว่า พลิกมีรูนาบที่มีพิคที่แยกจากกัน ได้ชัดเจน 3 รูนาบที่รูนาบ (111), (200) และ (222) และภาคตัดขวางของ ฟิล์มนางแสดงให้เห็นว่า ฟิล์มนางที่โครงสร้างแบบ กอลัมนาร์ (Columnar)

Barhai, Kumari, Banerjee, Pabi, and Mahapatra (2010) ศึกษาฟิล์มไทเทเนียมในไตรค์ และไทเทเนียมออกซ์ไนไตรค์ที่เคลือบด้วยวิธี ดีซีรีแอคติฟ แมกนีตรอน สปีตเตอริง ที่อัตราไฟล์ ของแก๊สและช่วงเวลาการเคลือบคงที่ โดยที่ตัวแปรที่ใช้ในการศึกษาคือ ค่าความหนาแน่นกระแทก ของพลาสma ซึ่งกำหนดให้อยู่ในระหว่าง $10 \sim 40 \text{ mA/cm}^2$ ซึ่ง โครงสร้างของฟิล์มศึกษาโดยใช้ เทคนิค XRD, XPS, Nanoindentation และ Colorimetric Analysys จากผลการทดลองพบว่า ฟิล์มนางปูนกู้สีเช่น สีทอง น้ำเงิน ชมพู และเขียวต่างกันออกไปเมื่อเคลือบด้วยค่าความหนาแน่น ของกระแทกพลาสma ต่างกัน ที่ความหนาแน่นกระแทกต่ำ ๆ ฟิล์มมีสีออกทองและสีสันต่างระหว่าง ไทเทเนียมและไนไตรค์ในไตรเจนเป็นเลขจำนวนเต็ม เมื่อเพิ่มความหนาแน่นกระแทกขึ้นเรื่อยๆ สีของฟิล์ม เปลี่ยนเป็นสีน้ำเงิน ชมพูและเขียวตามลำดับ และสีสันต่างระหว่าง ไทเทเนียมและไนไตรค์ในไตรเจนไม่เป็น เลขจำนวนเต็มทำให้ฟิล์มที่ได้เกิดเป็นสารประกอบไทเทเนียมออกซ์ไนไตรค์ในที่สุด